

# Formation ATIAM

**Acoustique Traitement du Signal Informatique Appliqués à la Musique Parcours  
multi-mentions du Master (M2) Sciences et Technologies de l'Université Pierre et  
Marie Curie (Paris 6)**

UE Musique et Sciences depuis 1945

*Musique algorithmique*

2012-2013

Moreno Andreatta

Equipe Représentations Musicales

IRCAM/CNRS UMR 9912



# Quelques définitions de la composition algorithmique

- “A set of mathematical instructions that must be followed in a fixed order, and that, especially if given to a computer, will help to calculate an answer to a mathematical problem.”

(*Cambridge Advanced Learner's Dictionary*)

- “A systematic procedure that produces — in a finite number of steps — the answer to a question or the solution of a problem.”

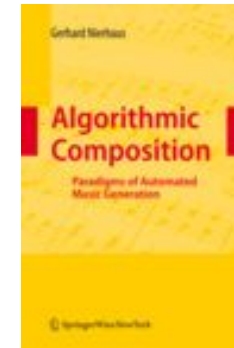
(*Encyclopædia Britannica Online*)

- “[...] (especially computing) a set of rules that must be followed when solving a particular problem.”

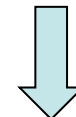
(*Oxford Advanced Learner's Dictionary*)

- “A computational procedure which, after a finite (but possibly very large) number of steps, always returns either a correct solution or the answer that such a solution does not exist.”

(Charles AMES, “Automated Composition in Retrospect: 1956-1986”, *Leonardo Music Journal*, XX/2 (1987), p. 185)



(Gerhard Nierhaus, *Algorithmic Composition. Paradigms of Automated Music Generation*, Springer 2009)



- Markov Models
- Generative Grammars
- Transition Networks
- Chaos and Self-Similarity
- Genetic Algorithms
- Cellular Automata
- Artificial Neural Networks
- Artificial Intelligence

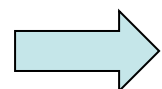
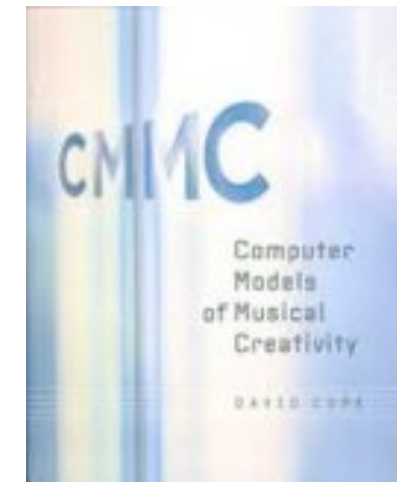
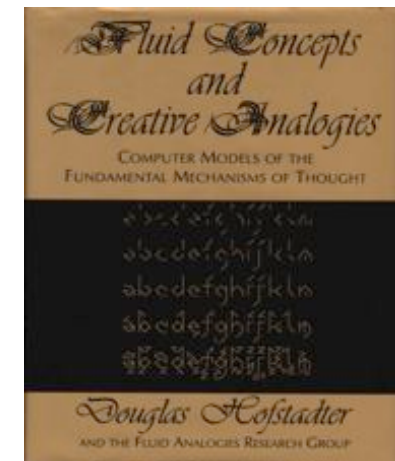
# Modèles computationnels de la créativité

The notions of **analogy** and **fluidity** are fundamental to explain how the human mind solves problems and to **create computer programs that show intelligent behavior**.

[D. Hofstadter, *Fluid Concepts and Creative Analogies : Computer Models of the Fundamental Mechanisms of Thought*, 1995]

Creativity is « **the initialization of connections between two or more multifaceted things, ideas, or phenomena hitherto not otherwise considered actively connected.** [...] It does not depend exclusively on human inspiration, but can originate from other sources, such as **machine programs**. [It] should not be confused with novelty. [It] does not originate from a vacuum, but rather synthesizes the work of others, no matter how original the results may seem »

[D. Cope, *Computer Models of Musical Creativity*, The MIT Press, 2005]



**Musique algorithmique et créativité computationnelle**

## Modèles mathématiques et computationnels de la créativité

Vendredi 12 octobre 2012

14h30 – 18h30

IRCAM - Salle Stravinsky

Entrée libre dans la mesure des places disponibles



ircam  
Centre  
Pompidou

### Table des matières

- Modèles mathématiques et computationnels de la créativité
  - Programme
  - Résumé des interventions
  - Bibliographie

Peut-on utiliser les mathématiques pour appréhender les processus créatifs ? Quels sont les modèles formels susceptibles de décrire la créativité, à la fois en mathématique et dans les arts ? La créativité musicale diffère-t-elle de façon intrinsèque de la créativité mathématique ? Après un survol historique sur quelques modèles mathématiques de la créativité et leur pertinence dans l'étude de la cognition, la séance se concentrera sur la formalisation et modélisation computationnelle des processus créatifs à travers la théorie des catégories, dont on discutera en particulier l'application en musique et dans les arts. Des liens nouveaux entre modélisation catégorielle des processus musicaux et théorie du design seront également présentés, ainsi qu'une première élaboration d'un cadre conceptuel uniifié pour l'étude catégorielle des processus créatifs.

### Programme

- 14h30-14h35 : John Mandereau – Introduction de la séance et de la 12e saison du séminaire MaMuX
- 14h35-14h50 : Moreno Andreatta – Un survol sur les modèles mathématiques de la créativité et de processus cognitifs
- 14h50-15h10 : Andranik Tangian – La tradition russe dans la modélisation mathématique de la créativité : actualité de la pensée de Zaripov dans la formalisation des grammaires musicales
- 15h15-16h00 : Guerino Mazzola – Philosophie de Yoneda, colimites et processus créatif dans l'op. 109 de Beethoven
- 16h30-17h15 : Andrée Ehresmann – Modélisation des processus créatifs dans MENS : bases neuronales et dynamique
- 17h30-18h15 : René Guitart – Modélisation qualitative catégoricienne : création discursive et émergence de formes nouvelles
- Discussion

# « Procédés algorithmiques » versus « musique algorithmique »

## Minuet

A musical score for a Minuet in G major, 3/4 time. The score consists of four staves of piano music. Measure numbers are indicated above the staves: M1, M6, M11, M12; M21, M27, M36, M39; M51, M59, M60, M61; and M77, M81, M82, M83. The music includes various dynamics and performance instructions.

Here is your piece...

Your piece is composed of the following measures:

MINUET:

3 84 114 53 28 37 106 100 35 139 150 29 137 115 44 93

TRIO:

18 3 16 68 6 27 52 80 11 20 93 48 12 23 78 21



(<http://sunsite.univie.ac.at/Mozart/dice/>)

# « Procédés algorithmiques » versus « musique algorithmique »

## Minuet

A musical score for a Minuet piece, featuring two staves (treble and bass) and four measures of music. Measure 1 starts with a quarter note followed by an eighth note. Measures 2 and 3 show eighth-note patterns. Measure 4 ends with a half note. Various measure numbers are printed above the staff, such as M6, M11, M14, M17, M18, M19, M20, M21, M22, M23, M24, M25, M26, M27, M28, M29, M30, M31, and M32.

Here is your piece...

Your piece is composed of the following measures:

MINUET:

3 84 114 53 28 37 106 100 35 139 150 29 137 115 44 93

TRIO:

18 3 16 68 4 27 52 80 11 20 93 48 12 23 78 21

A musical score for a Minuet piece, featuring two staves (treble and bass) and four measures of music. Measure 1 starts with a quarter note followed by an eighth note. Measures 2 and 3 show eighth-note patterns. Measure 4 ends with a half note. Various measure numbers are printed above the staff, such as M6, M10, M11, M12, M13, M14, M15, M16, M17, M18, M19, M20, M21, M22, M23, M24, M25, M26, M27, M28, M29, M30, M31, and M32.

Here is your piece...

Your piece is composed of the following measures:

MINUET:

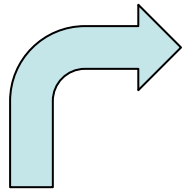
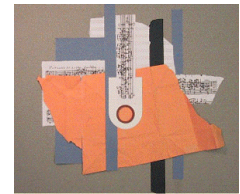
96 95 171 156 80 37 110 94 25 20 108 132 112 38 173 172

TRIO:

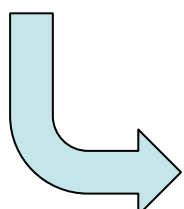
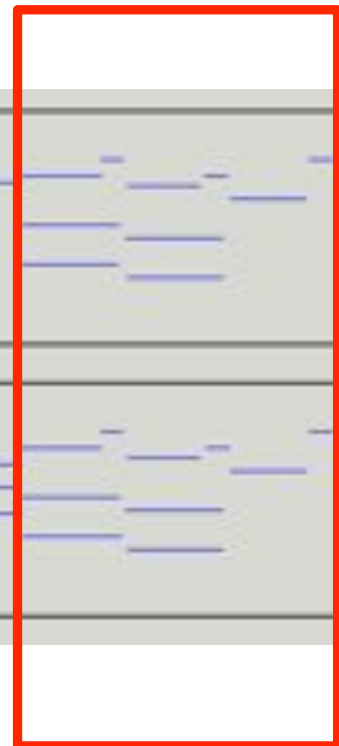
72 82 36 53 65 27 26 61 9 93 26 84 30 23 78 10



## « Procédés algorithmiques » chez Mozart

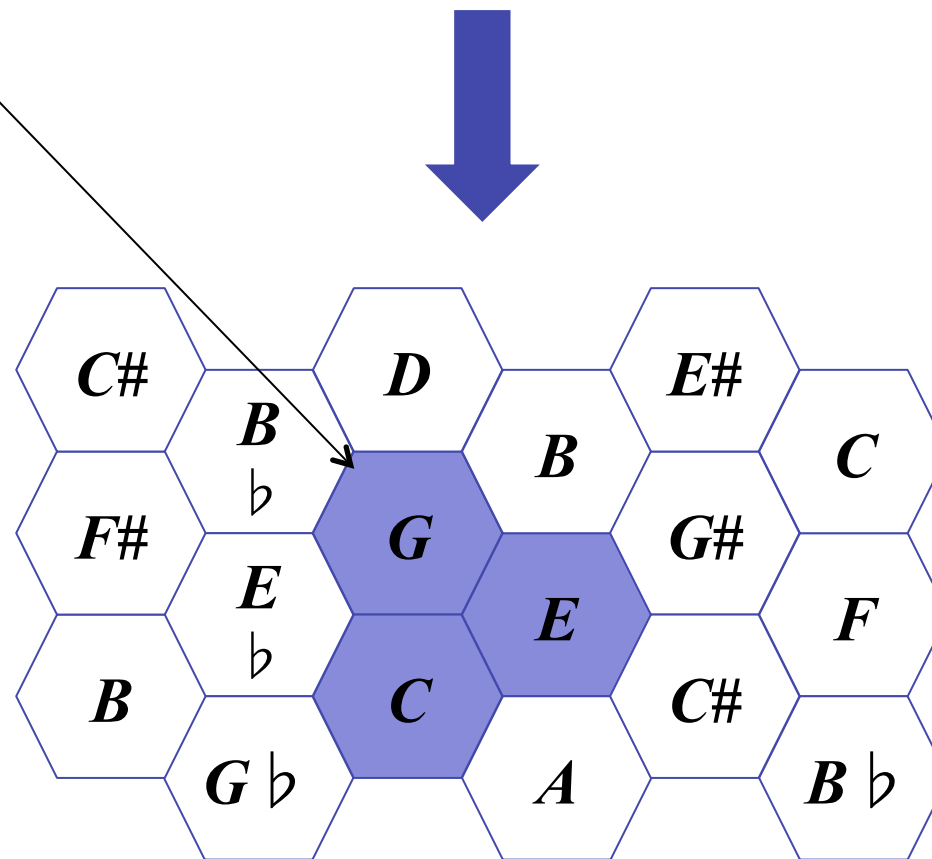
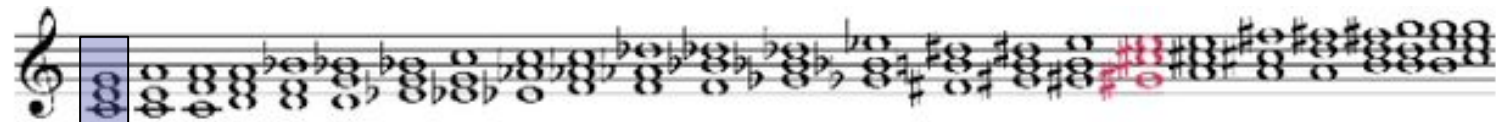


Musical notation for piano, showing two staves of music. The top staff has measures 106, 107, 108, and 109. The bottom staff has measures 107, 108, 109, and 110. The notation includes various note heads, stems, and rests.

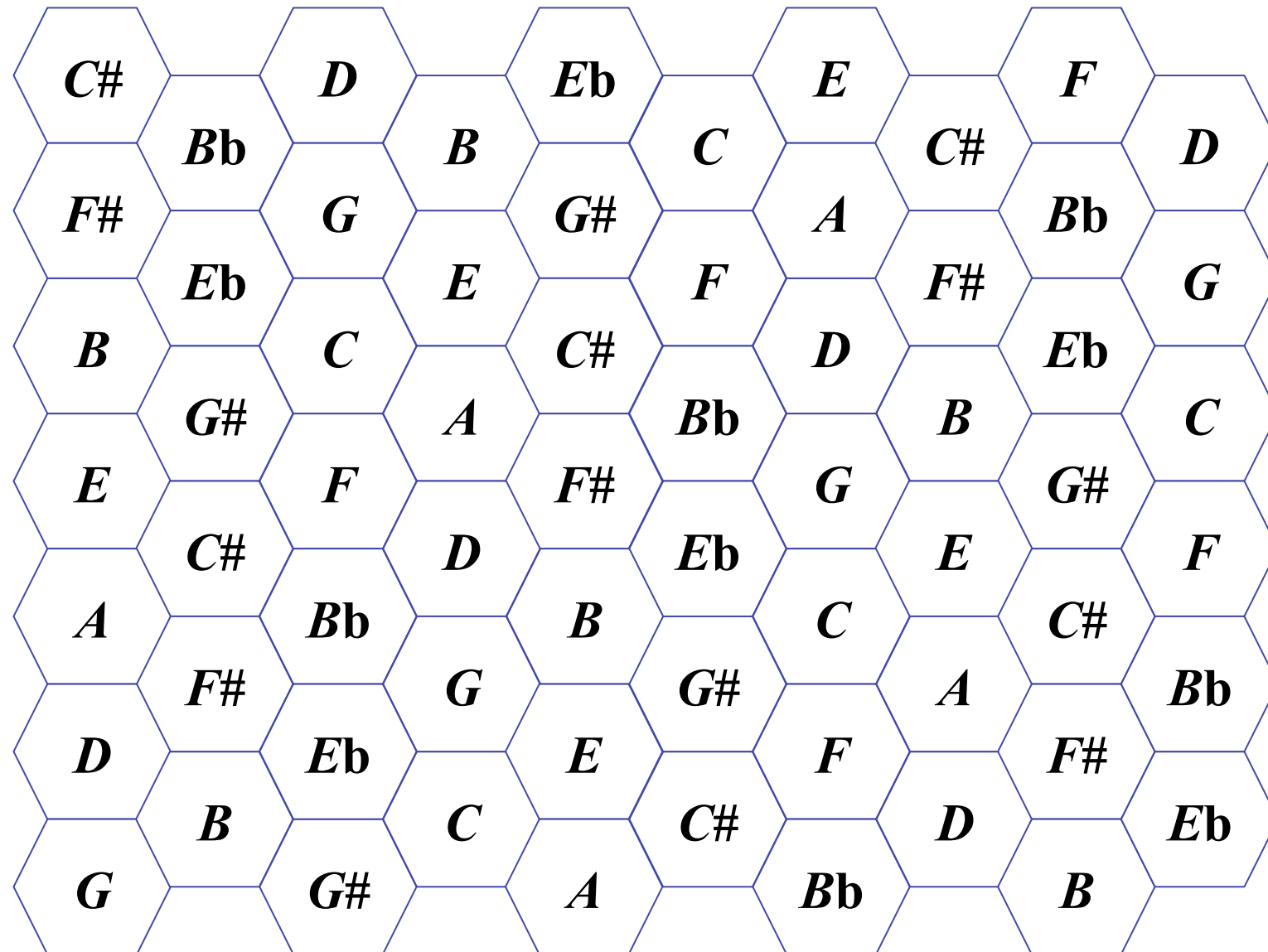


Musical notation for piano, showing two staves of music. The top staff has measures 106, 107, 108, and 109. The bottom staff has measures 107, 108, 109, and 110. The notation corresponds to the piano-roll visualization above, showing how the algorithmic patterns from the roll are reflected in the score.

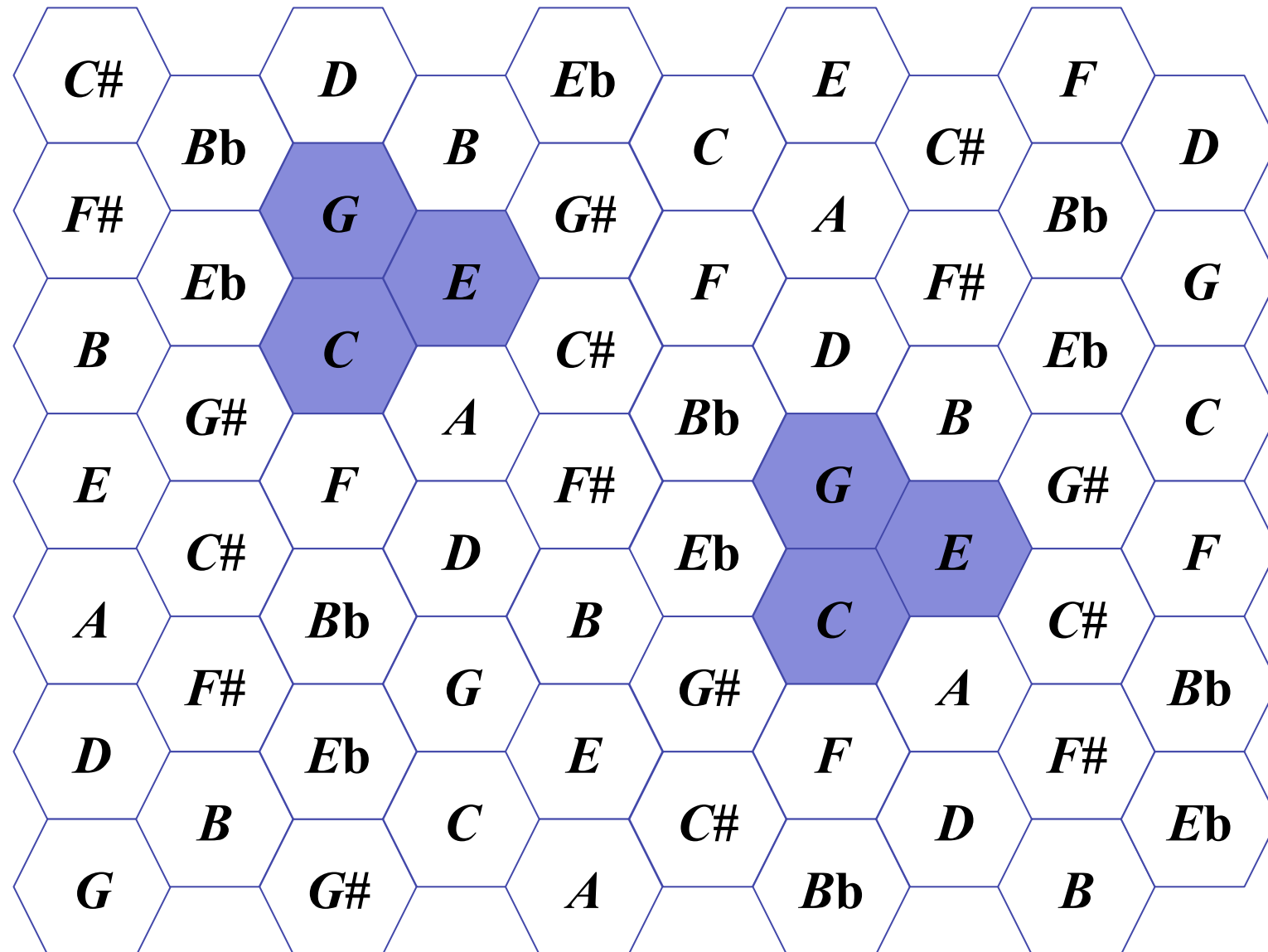
# Extract of the 2<sup>nd</sup> movement of the Symphony No. 9 (L. van Beethoven)



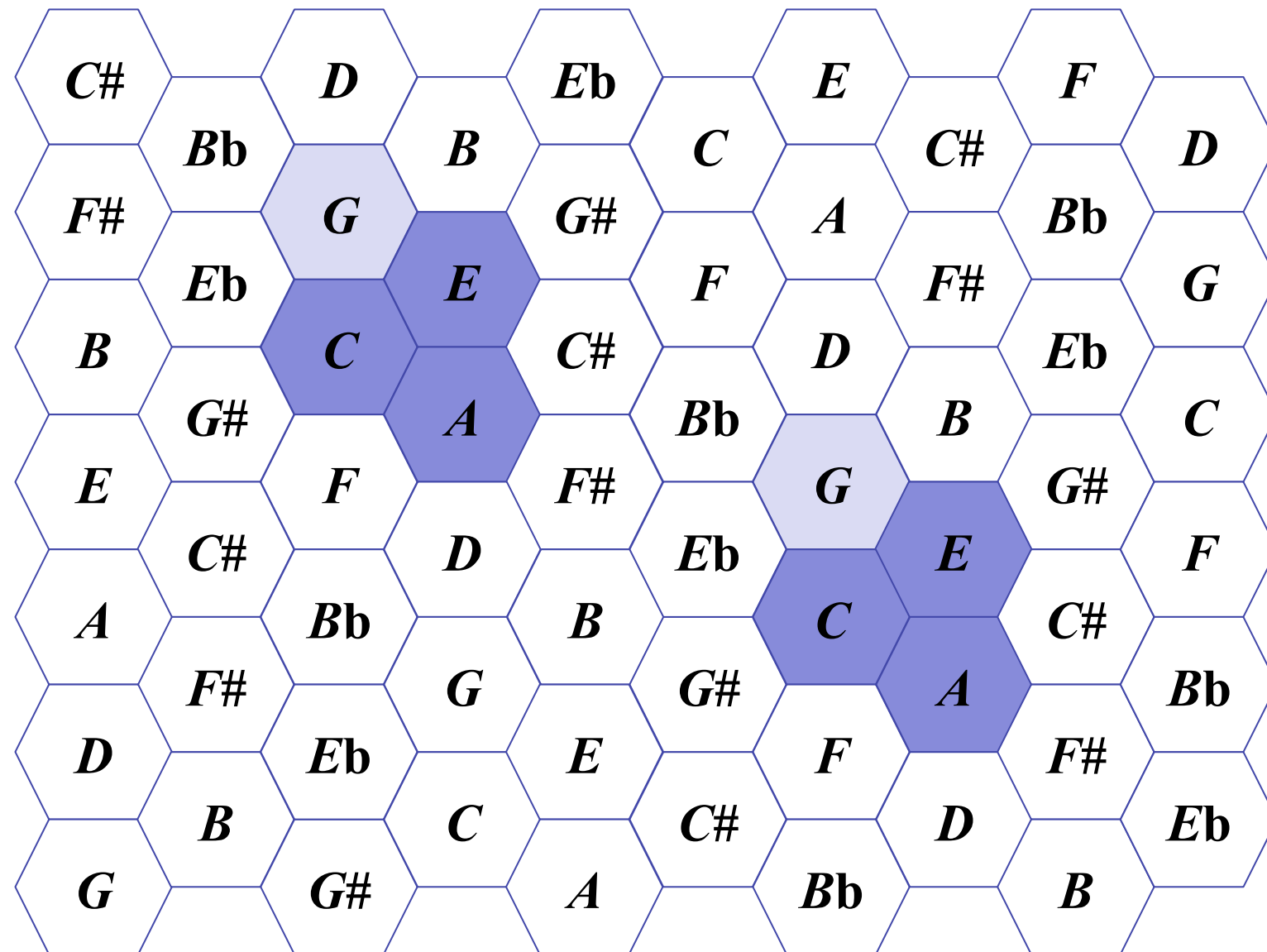
# Extract of the 2<sup>nd</sup> movement of the Symphony No. 9 (L. van Beethoven)



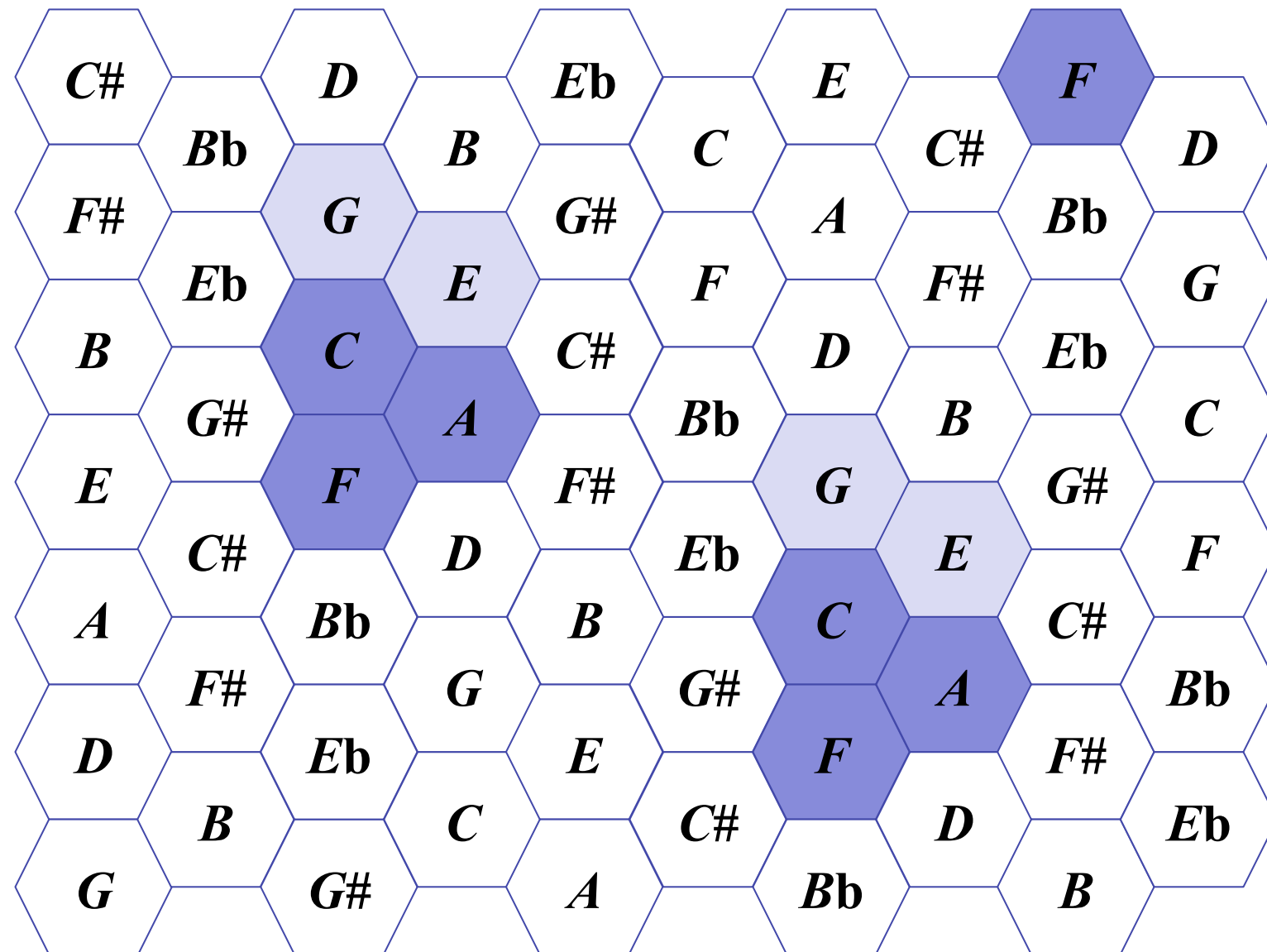
# Extract of the 2<sup>nd</sup> movement of the Symphony No. 9 (L. van Beethoven)



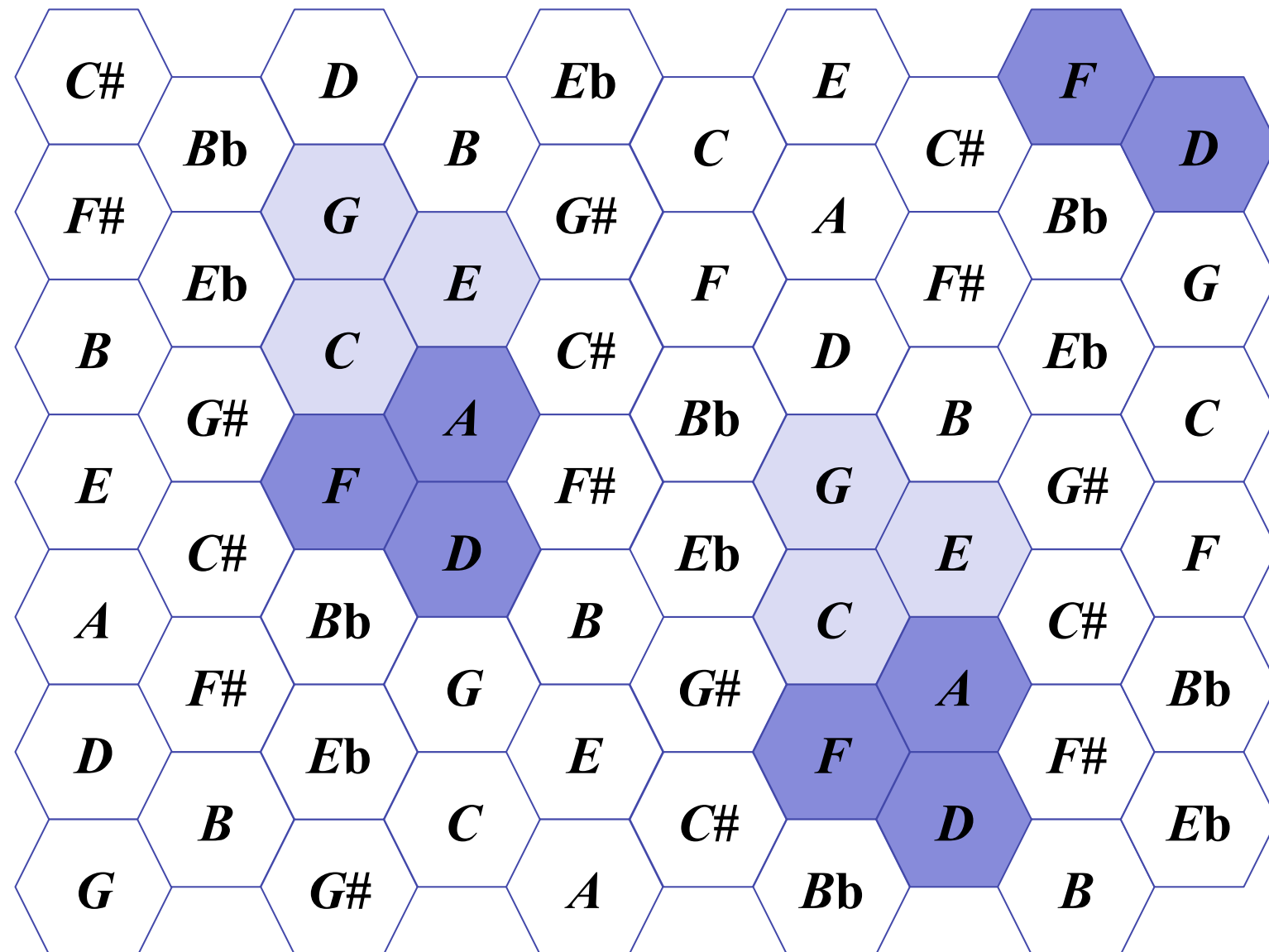
# Extract of the 2<sup>nd</sup> movement of the Symphony No. 9 (L. van Beethoven)



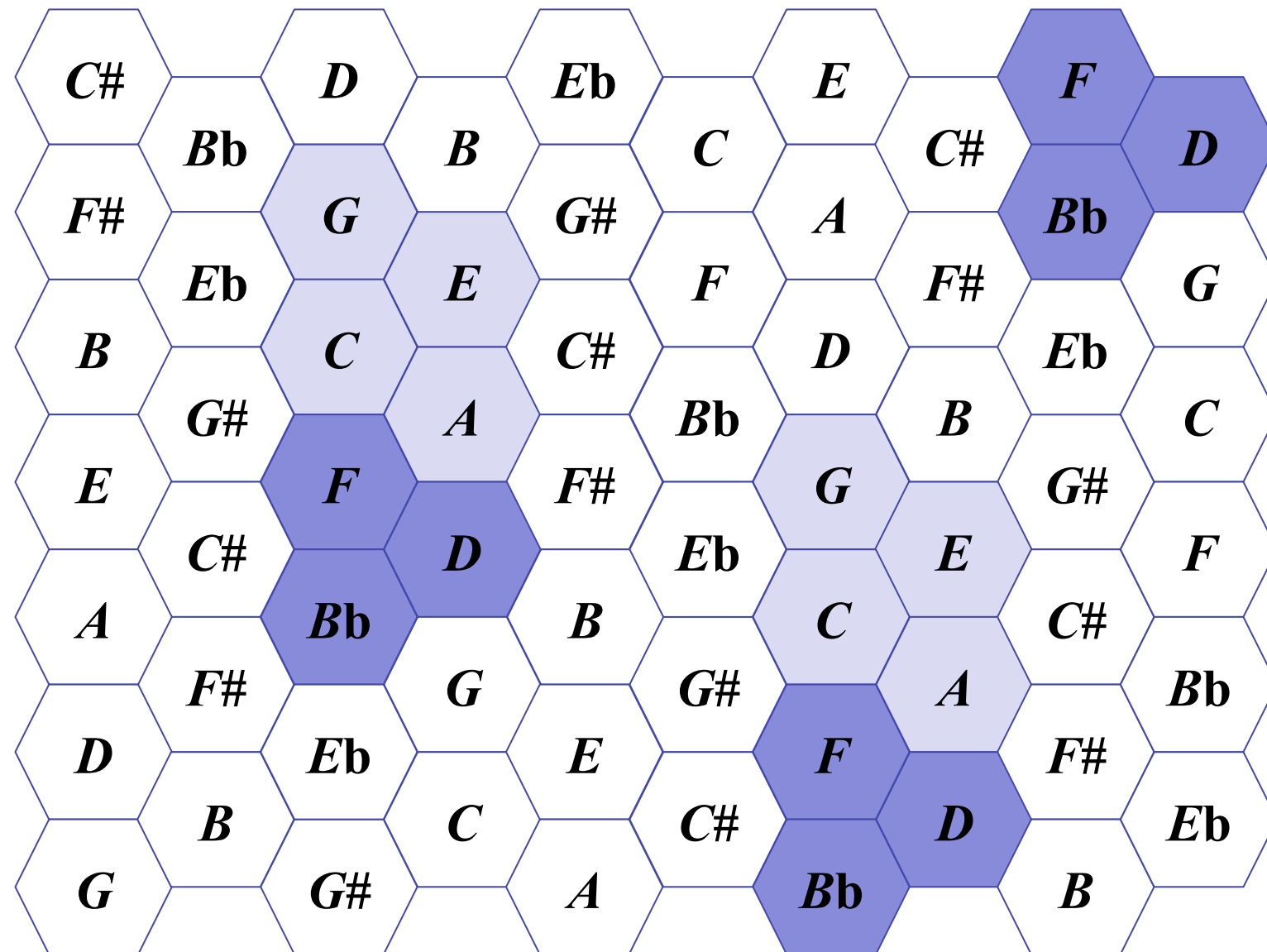
# Extract of the 2<sup>nd</sup> movement of the Symphony No. 9 (L. van Beethoven)



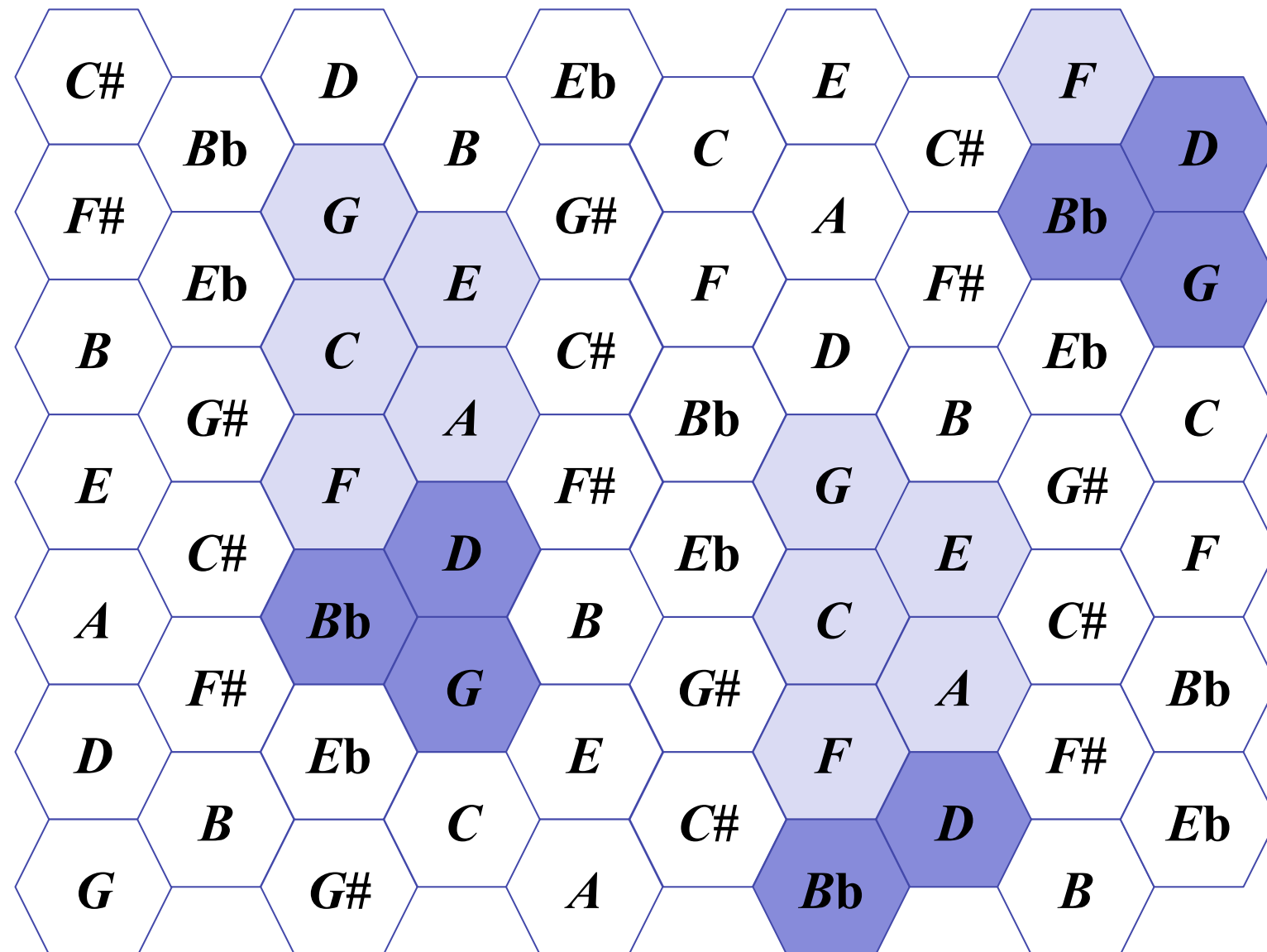
# Extract of the 2<sup>nd</sup> movement of the Symphony No. 9 (L. van Beethoven)



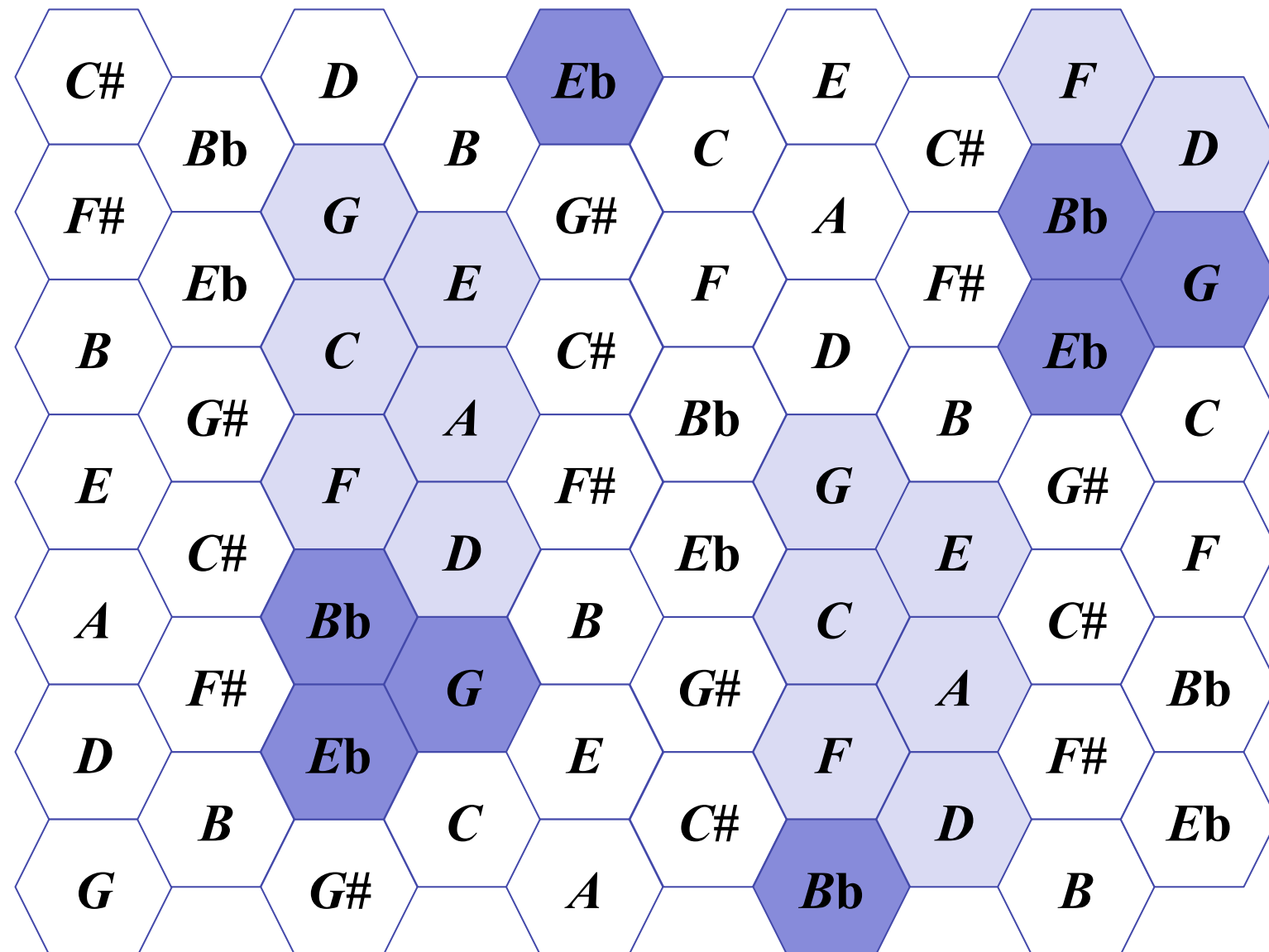
# Extract of the 2<sup>nd</sup> movement of the Symphony No. 9 (L. van Beethoven)



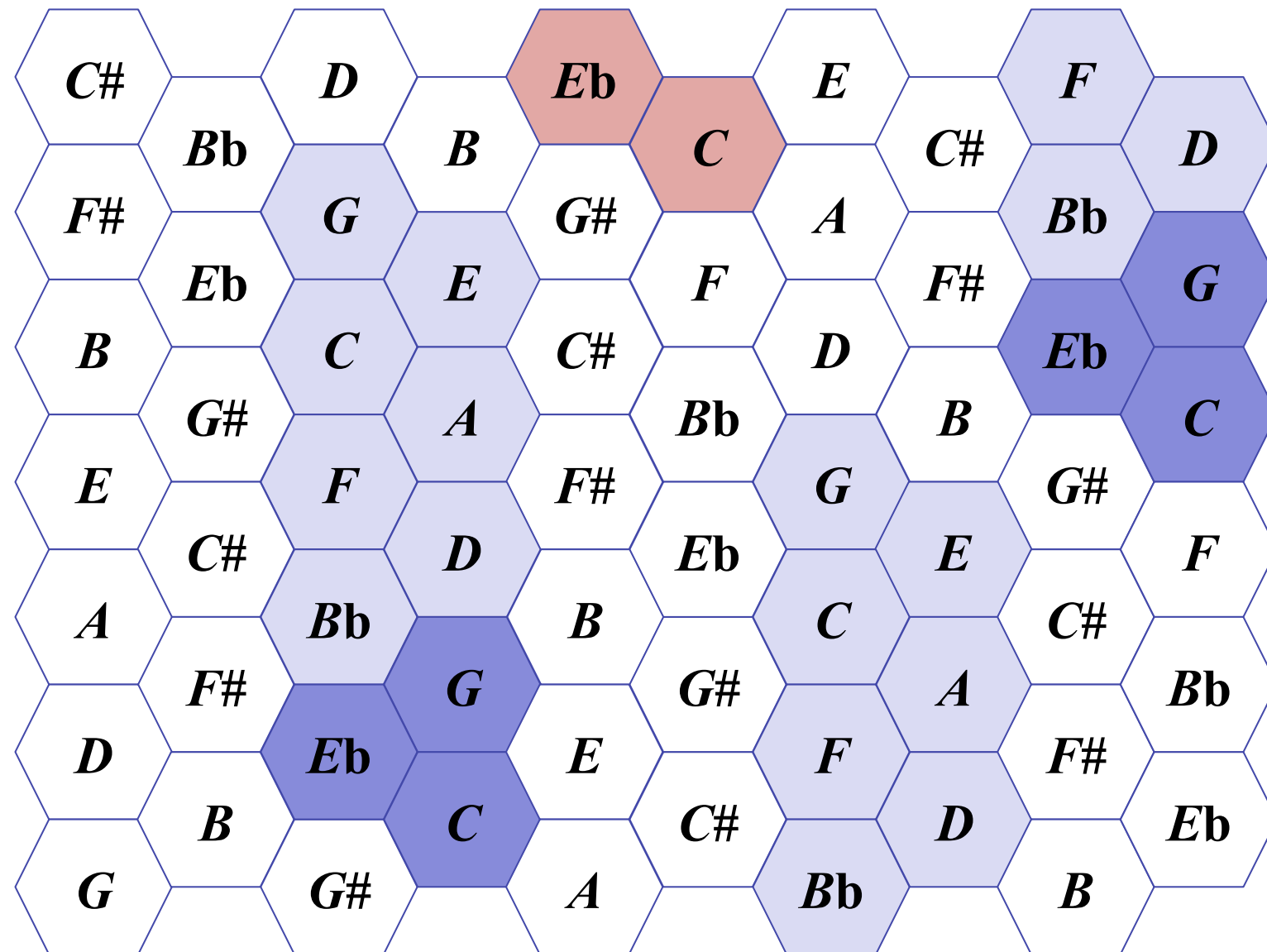
# Extract of the 2<sup>nd</sup> movement of the Symphony No. 9 (L. van Beethoven)



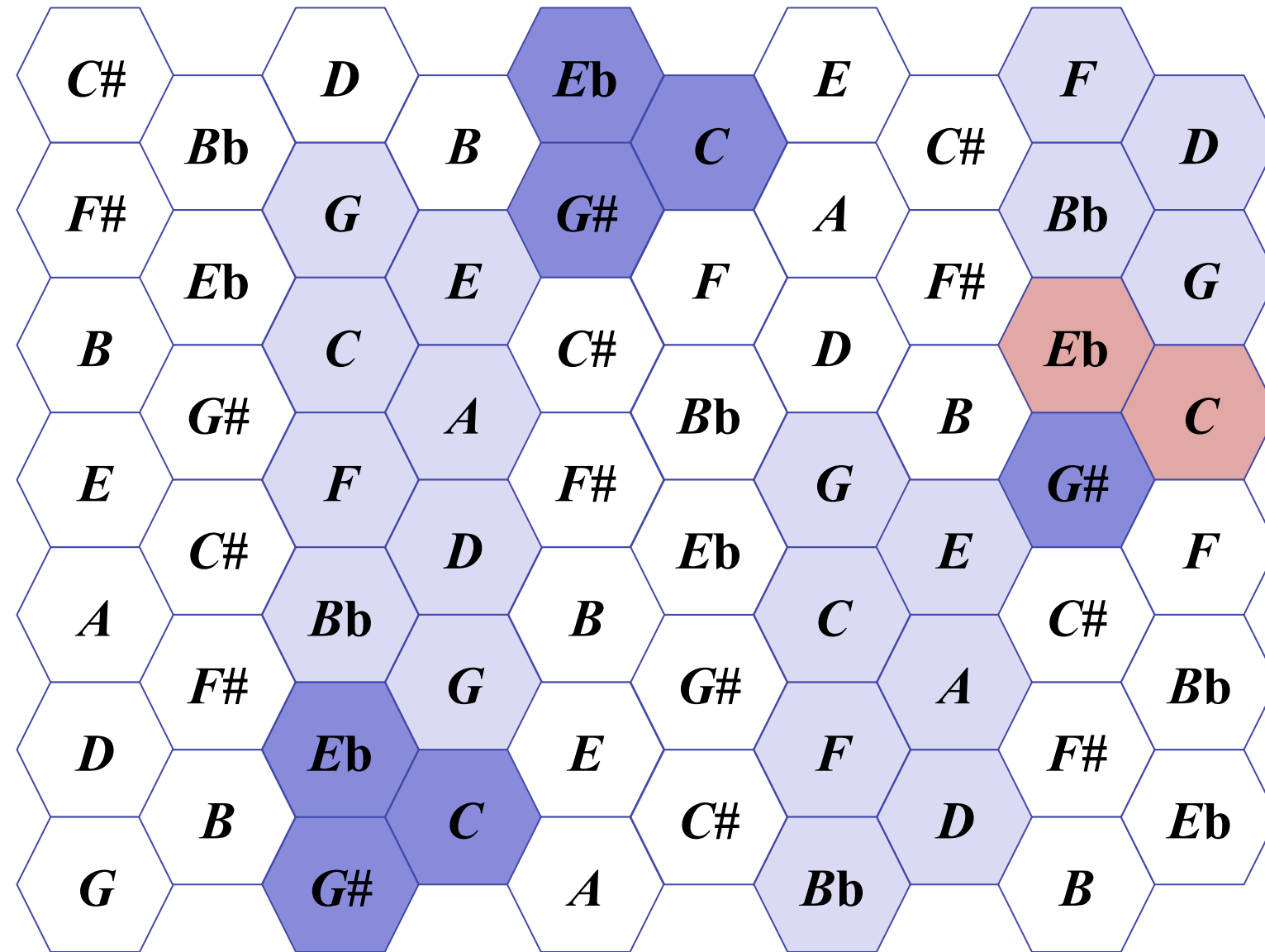
# Extract of the 2<sup>nd</sup> movement of the Symphony No. 9 (L. van Beethoven)



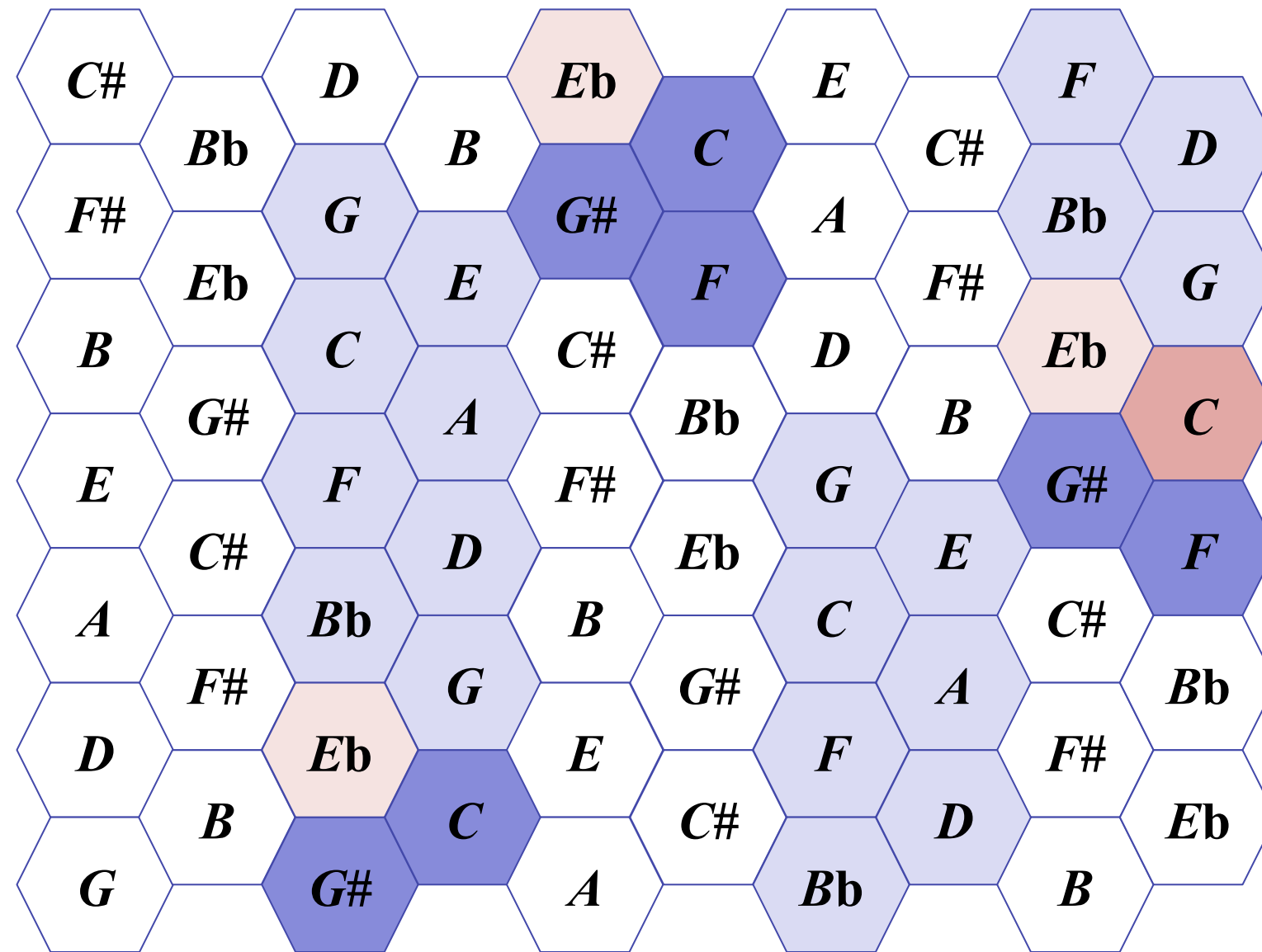
# Extract of the 2<sup>nd</sup> movement of the Symphony No. 9 (L. van Beethoven)



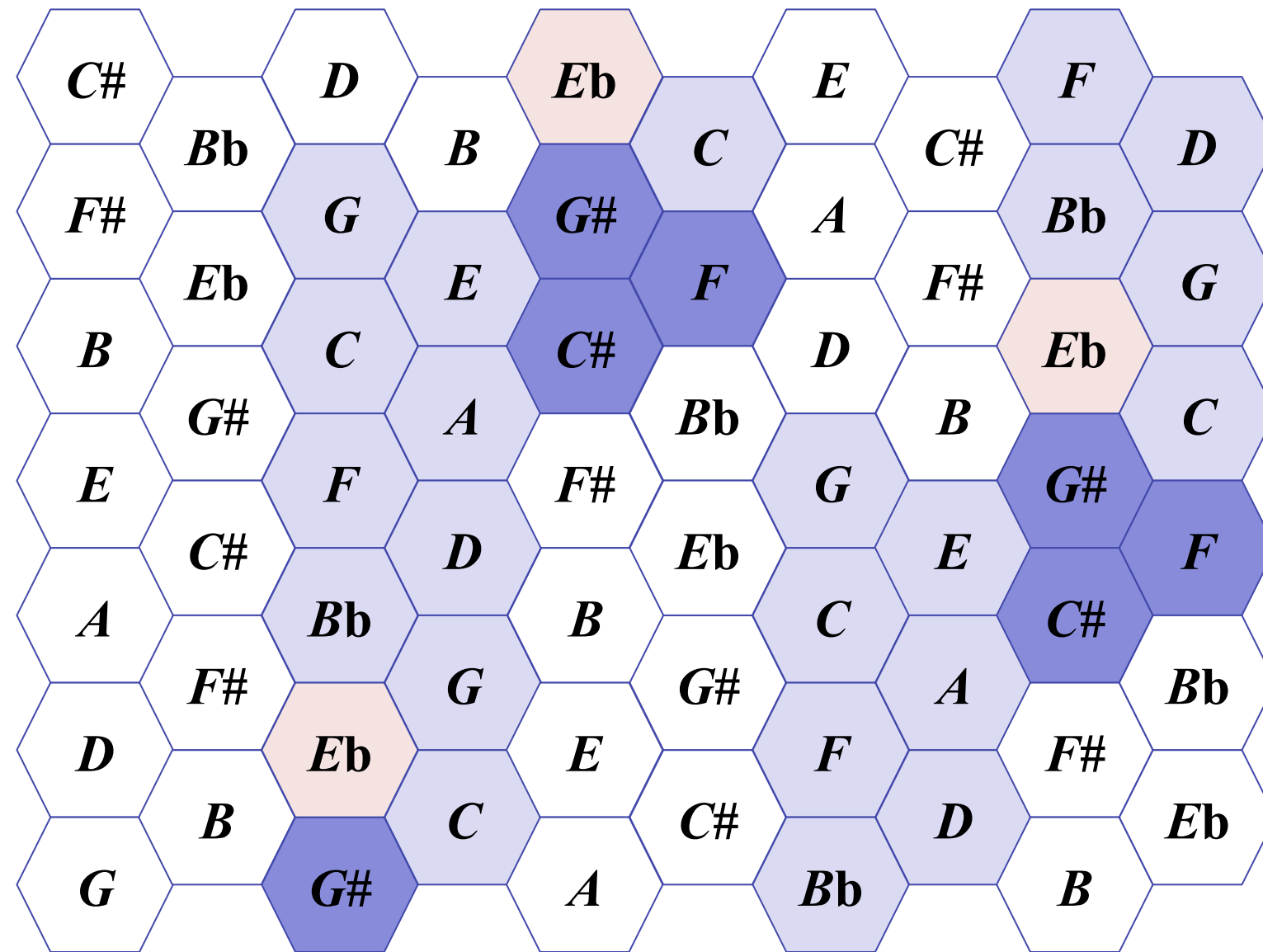
# Extract of the 2<sup>nd</sup> movement of the Symphony No. 9 (L. van Beethoven)



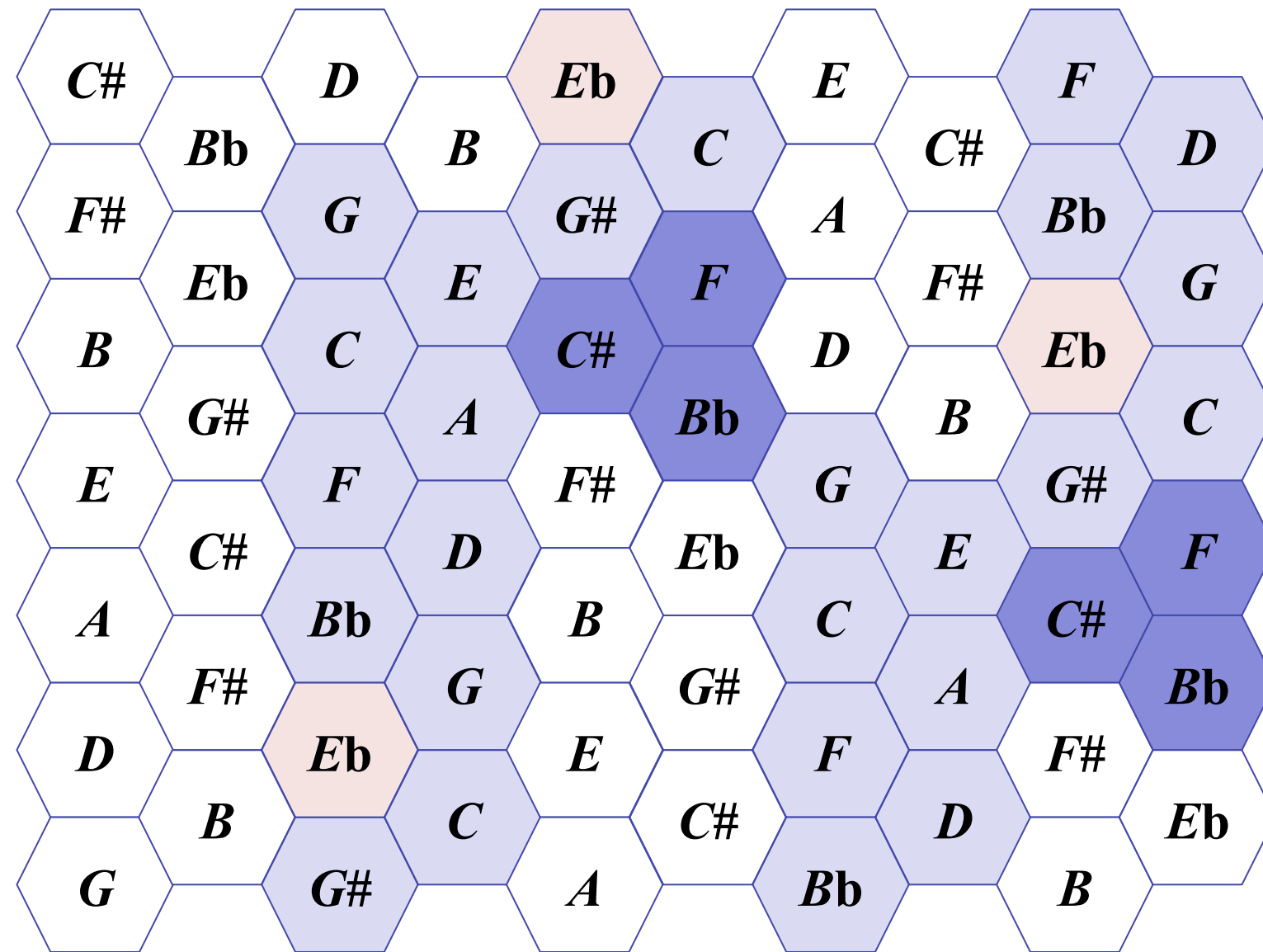
# Extract of the 2<sup>nd</sup> movement of the Symphony No. 9 (L. van Beethoven)



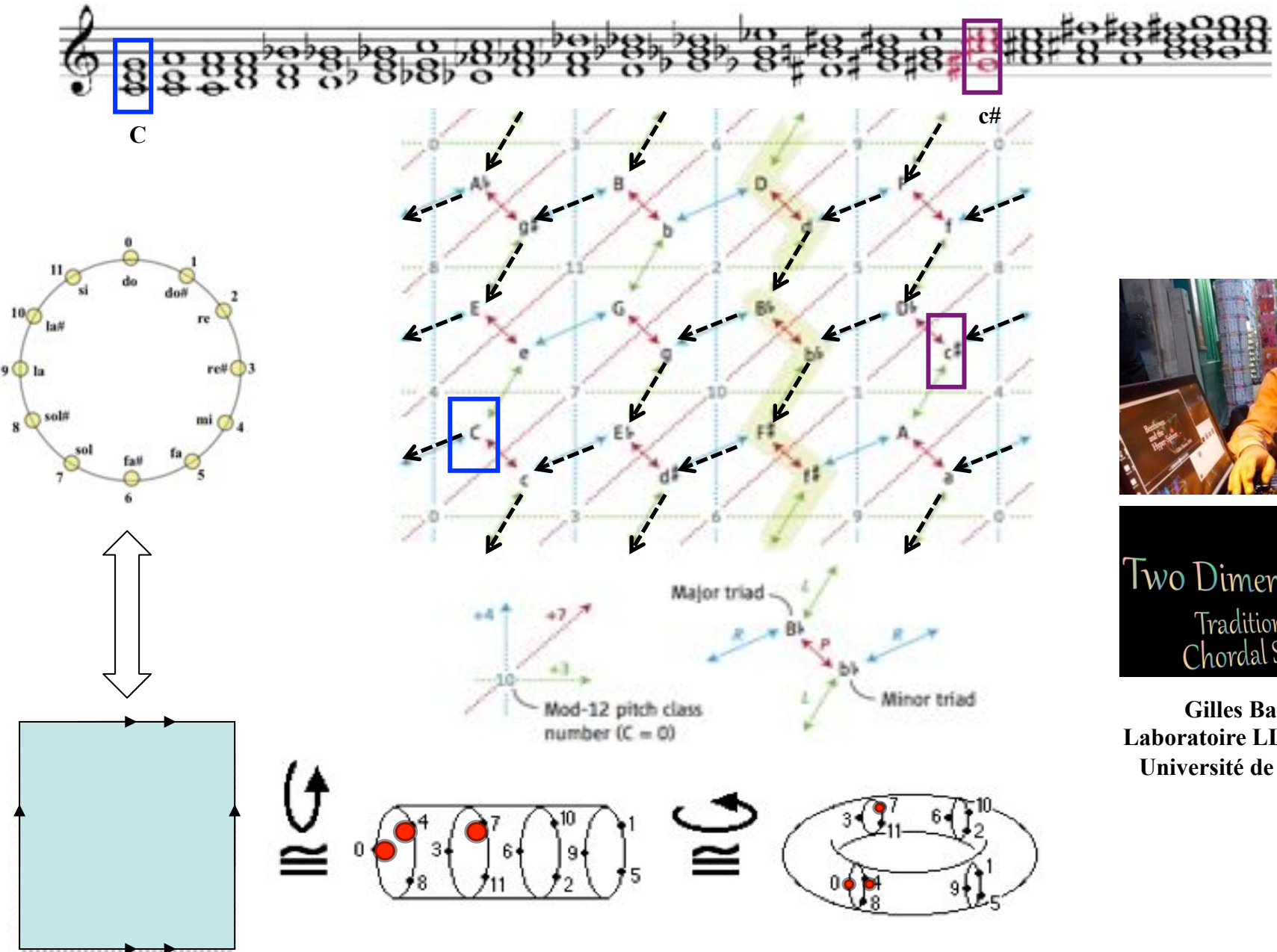
# Extract of the 2<sup>nd</sup> movement of the Symphony No. 9 (L. van Beethoven)



# Extract of the 2<sup>nd</sup> movement of the Symphony No. 9 (L. van Beethoven)



# Chemins et circuits hamiltoniens dans le torus



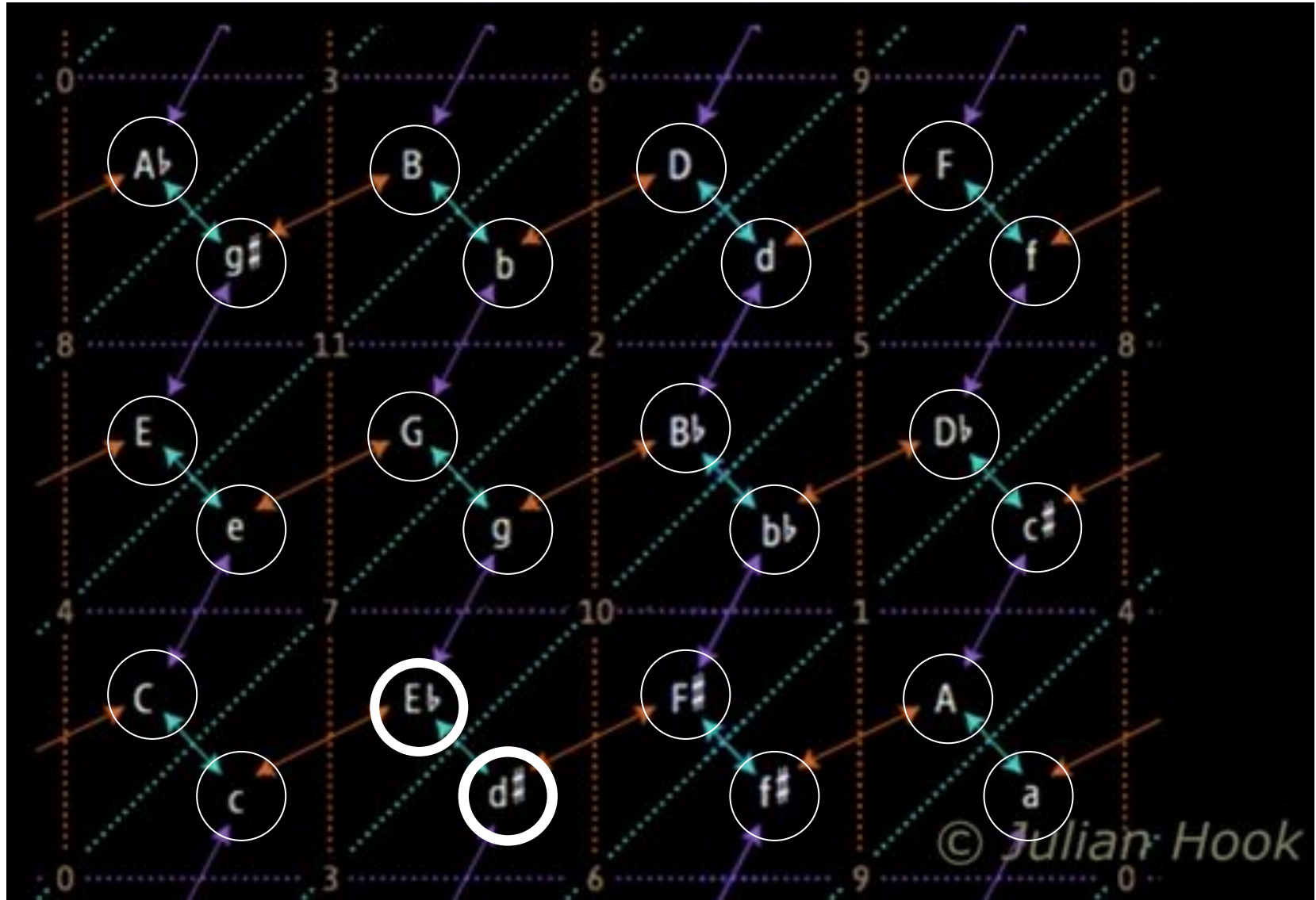
Two Dimensions  
Traditional  
Chordal Space

Gilles Baroin  
Laboratoire LLA Creatis,  
Université de Toulouse

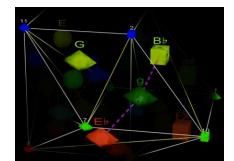
# Enumération exhaustive des cycles hamiltoniens

G. Albini et S. Antonini, « Hamiltonian Cycles in the Topological Dual of the Tonnetz », Proceedings MCM 2007, Yale University, Springer.

# Composition (semi)-algorithmique néo-riemannienne

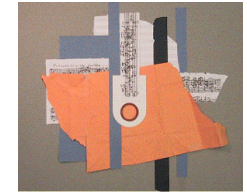


G. Albini, Corale n° 4. Pour violoncelle et orchestre de cordes, 2010. Animation de Gilles Baroïn.



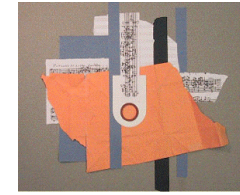
# Équivalence et symétrie en musique

---



Jos Leys <http://www.josleys.com/Canon/Canon.html>

# Canon infini de J.-S. Bach : un procédé algorithmique



Début de thème du roi (en do mineur)

Transposition du thème (en ré mineur)

Première voix du canon  
(en *do* mineur)

Entrée de la deuxième voix (en *sol* mineur)

Et ainsi de suite...*ré* mineur, *la* mineur, ...., *do* mineur

# Contrepoint et transformations géométriques

Benedetto Scimemi, « Contrappunto e trasformazioni geometriche », *Matematica e Cultura*, Springer, 1996



The Canon triplex: Détail du portrait de Bach par E. G. Haussman (1746)



Figura 4. Un autografo di J.S. Bach (BWV 1073)

J. S. Bach, Canon a 4 *per perpetuus* (BWV 1073)

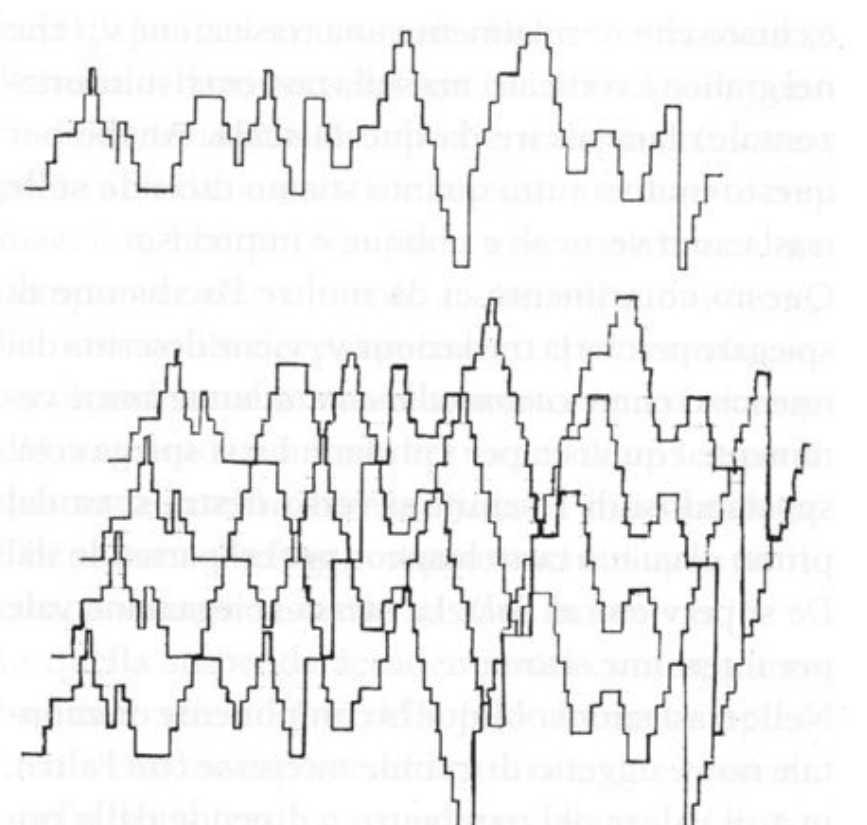


Figura 5. Realizzazione grafica del canone BWV 1073

# Contrepoint et transformations géométriques

Benedetto Scimemi, « Contrappunto e trasformazioni geometriche », *Matematica e Cultura*, Springer, 1996

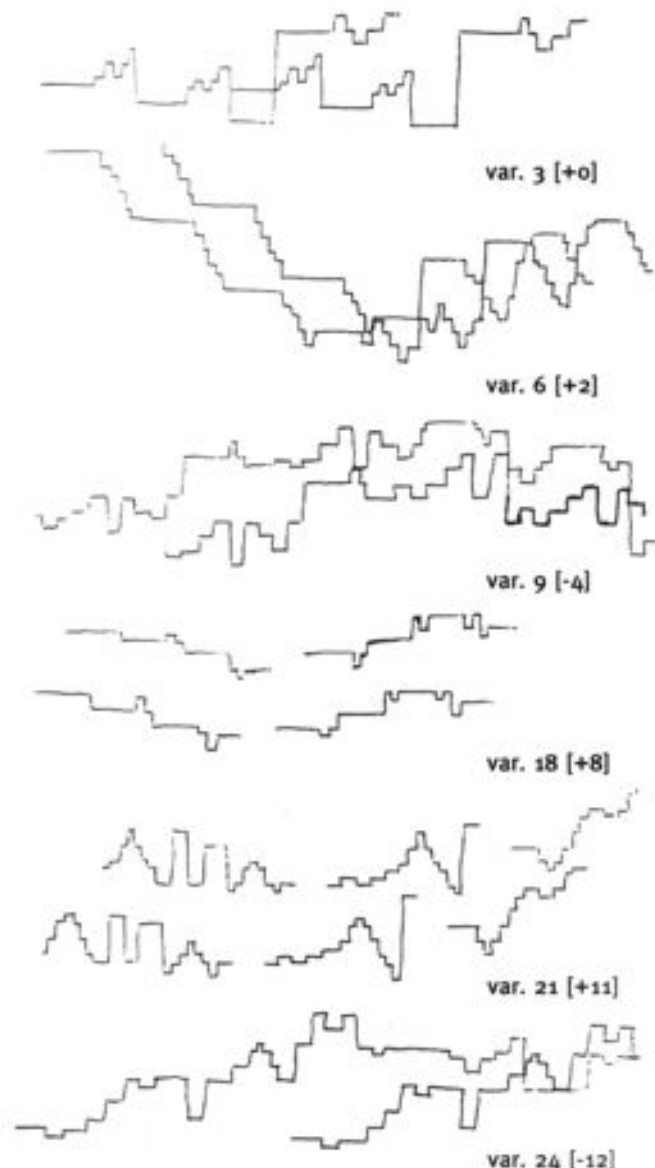


Figura 6. J.S. Bach: alcune delle Variazioni Goldberg

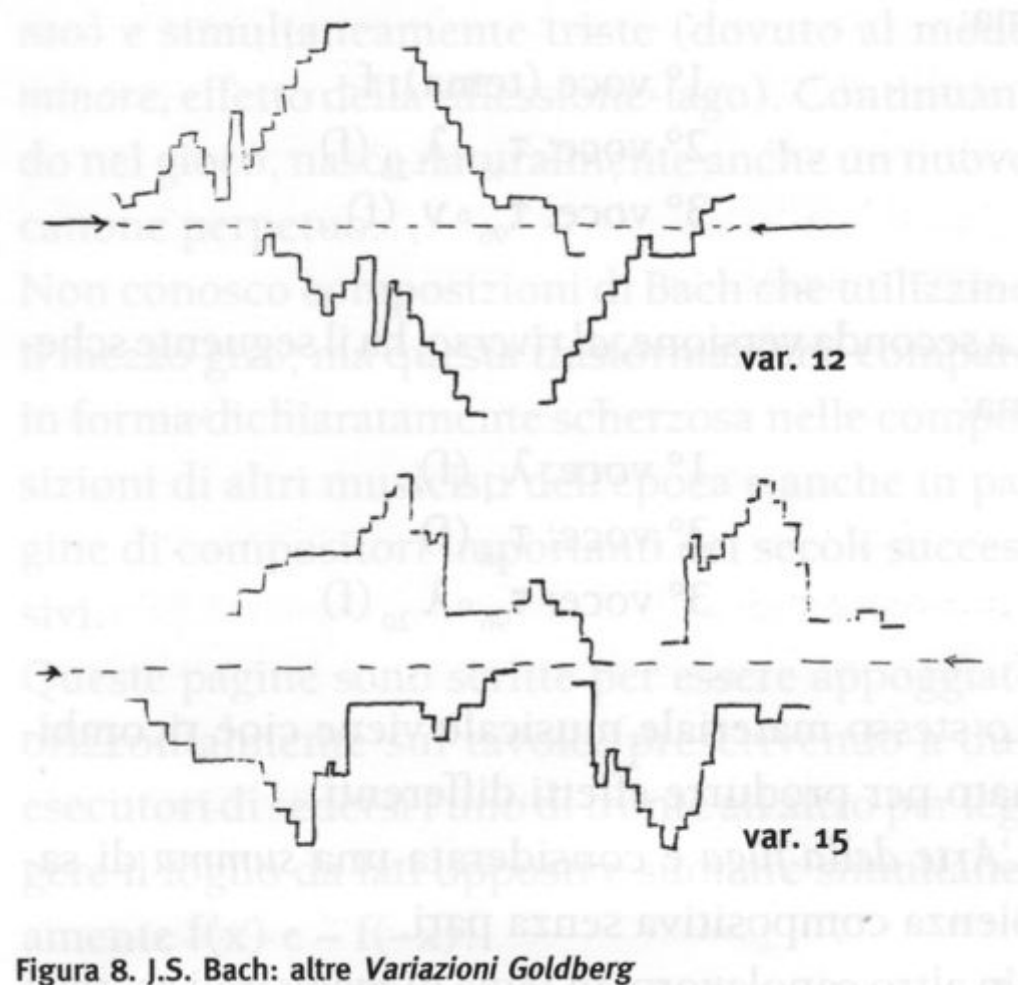


Figura 8. J.S. Bach: altre Variazioni Goldberg

# Techniques contrapuntiques et musique algorithmique

L. Hiller & L. M. Isaacson, *Experimental Music: Composition With an Electronic Computer*, McGraw-Hill, New York, 1959.

The image shows a musical score for the Illiac Suite, Experience 2. It consists of eight staves of music, each with a unique title or section label:

- (A) ADAGIO, MA NON TROPPO LENTO
- (B)
- (C)
- (D)
- (E)
- (F)
- (G)
- (H) « Best counterpoint »

Each staff contains multiple staves of music, with some sections featuring more complex rhythmic patterns than others. The notation is dense and varied, reflecting the experimental nature of the composition.



A · M · I · C · V · S  
Musique et Calcul - Compositional Techniques  
Periodes Classiques  
Johann Joseph Fux  
Gradus ad Parnassum (1725)  
Texte original intégral  
Introduction, traduction et notes par  
Jean-Philippe Nataf

M A R D A G A

- Lejaren Hiller et Leonard M. Isaacson, *Illiac Suite* (1957) : expérience 2. Huit sections, chaque section introduisant une nouvelle règle :
- (A) Musique stochastique (sans règles)
  - (B) Règle de mouvement conjoint et pas plus qu'une note répétée
  - (C) *Cantus firmus* qui commence sur le do avec un accord initial de *do* majeur.
  - (D) Règle d'*ambitus d'octave*
  - (E) Uniquement des accords consonants permis, à l'exception des accords en position 6-4 (deuxième renversement)
  - (F) Permission des unisons, octaves, quintes et quartes parallèles
  - (G) Quartes parallèles permises ainsi que les accords en position 6-4 et contenant la dixième
  - (H) « Best counterpoint »

# Quartet No. 4 for strings (*Illiad Suite*, 1957)

ILLIAC SUITE FOR STRING QUARTET

I. EXPERIMENT NO. I

L.A.HILLER, JR. AND L.M.ISAACSON

PRESTO

VOLIN I  
VIOLIN II  
VIOLA  
CELLO



Lejaren Hiller et Leonard M. Isaacson, *Illiad Suite* (1957). Extrait de la musique obtenue dans la première expérience



(C) ADAGIO

(D) TEMPO I



Lejaren Hiller et Leonard M. Isaacson, *Illiad Suite* (1957)  
Extrait de la musique expérimentale obtenue dans la troisième expérience

# Premiers exemples de musique algorithmique

"PUSH BUTTON BERTHA"

LYRIC BY  
JACK OWENS

MUSIC BY  
DATATRON

MATHEMATICIANS  
DR MARTIN KLEIN  
DR DOUGLAS BOLITHO

MODERATE TEMPO

2 1 1 2 2 2 2 2 2  
0 0 0 8 0 7 / 9 2 7  
RANDOM NUMBERS  
USED FOR MUSIC.

F Dm Gm  
SHE'S PUSH-BUT-TON BER-THA-SWEET MA-CHINE, WHAT A QUEEN  
Gm<sup>7</sup> C<sup>7</sup> B<sup>7</sup> A<sup>7</sup> Gm F Dm B<sup>7</sup> Gm<sup>7</sup>  
CAL-CU-LAT-IN' DAL-Pi-TR-TIN' CHICK - WITH A  
CICK - MY PUSH-BUT-TON BER-THA - NOT TOO LARGE, WHAT A CRAIGUE  
Gm<sup>7</sup> C<sup>7</sup> B<sup>7</sup> A<sup>7</sup> Gm F Dm B<sup>7</sup> Gm<sup>7</sup> C<sup>7</sup>  
E-LEO-TRONIC QU-PEK-ROU-IL FRIEND - THE -  
F F E<sup>7</sup> E<sup>7</sup> A<sup>7</sup> A<sup>7</sup>  
END - SHE'S OH-ER - A - TIN' - WATCH HER ROCK AND ROLL -  
BER-THAS NOT DIE-MAND-MIE - NEVER WANTS YOUR DUGH -  
Dm Gm A<sup>7</sup> B<sup>7</sup> Gm C<sup>7</sup>  
COOL AND CAL-CU-LA-TIN' THIS GAL HAS NO HEART OR SOUL - SHE'S  
AL-WAYS LIU-DIE-SEND-MIE - JUST FLIP A SWITCH AND SHE'S GO  
F Dm Gm C<sup>7</sup>  
PUSH-BUT-TON BER-THA - DU-TO - MA-TION DI-JINIE  
A<sup>7</sup> D<sup>7</sup> A<sup>7</sup> D<sup>7</sup> Gm<sup>7</sup> C<sup>7</sup> F  
NOW HEAR THIS - WE CAN'T KISS  
PAY THE LIGHT BILL AND YOU'RE RIGHT SASS MINE - ALL CHINE -  
TEW WEIGHT OIL - MAKES HER COY-AL DEEAM - MA-CHINE -  
CREDITS BY OWENS-KLEIN-HODSON - COMPOSED BY BOLITHO, PRINTED BY DAVIDSON

## Exemple 1

Douglas Bolitho et Martin Klein, « *Push Button Bertha* » (1956)

Partition de la pièce, l'une des premières réalisées par ordinateur

Extrait de Charles Ames, « Automated Composition in Retrospect : 1956-1986 », *Leonardo Music Journal*, XX/2 (1987), p. 169



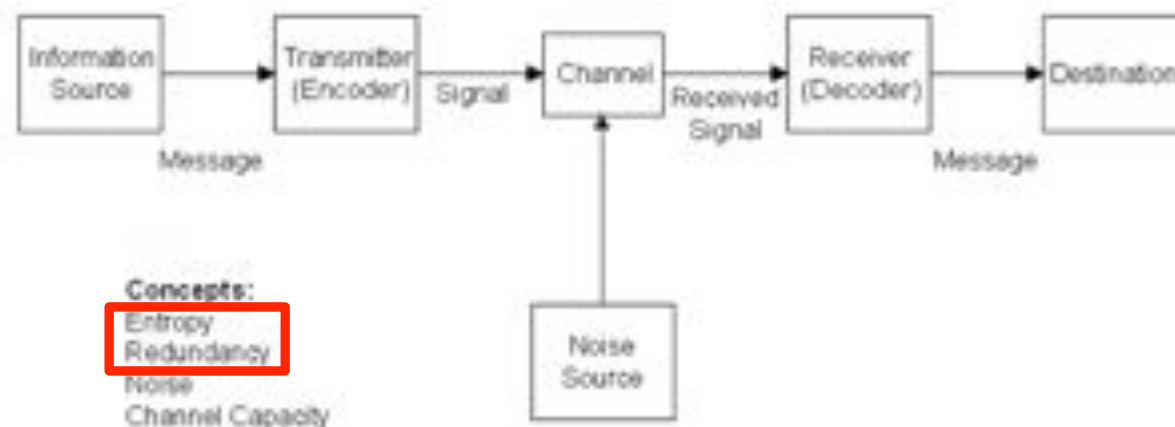
# Modèles mathématiques du processus créatif

« This [= **Information Theory**] is a theory so general that one does not need to say what kinds of symbols are being considered – whether written letters or words, or musical notes, or spoken words, or symphonic music, or pictures. The theory is deep enough so that the relationships it reveals indiscriminately apply to all these and to other forms of communication »

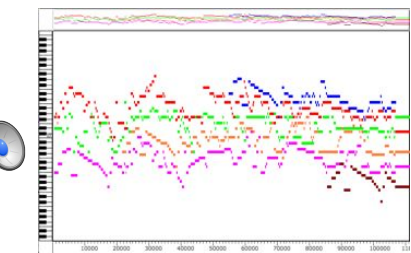
(C. Shannon and W. Weaver, *The Mathematical Theory of Communication*, 1949)



The Shannon-Weaver Mathematical Model, 1949

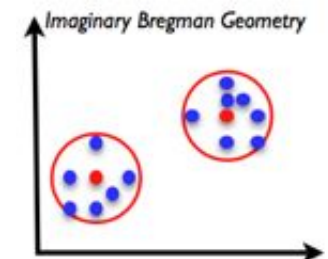


Quartet No. 4 for strings  
(*Illiac Suite*, 1957)



Variations OMAX sur une fugue à six voix de Bach

- C. Shannon and W. Weaver, *The Mathematical Theory of Communication*, 1949
- R.C. Pinkerton, « Information theory and melody », *Scientific Am.*, 194, 1956
- Leonard B. Meyer, « Meaning in Music and Information Theory », *Journal of Aesthetics and Art Criticism* 15 (4), 1957
- Abraham Moles, *Théorie de l'information et perception esthétique*, 1958
- R. Zaripov, *Cybernetics and music*, Moskva, Nauka, 1971.
- G. Assayag, S. Dubnov, « Universal Prediction Applied to Music Generation with Style », *Diderot Math. Forum*, Springer, 2002



Géométrie de l'information

# La musique algorithmique et le « compositeur artificiel »

« La musique algorithmique se distingue [...] des musiques concrète ou électronique [...] en ce qu'elle se veut *résolument systématique*. C'est, en d'autres termes, la recherche, l'élaboration et le classement des processus de mécanisation possibles sur des êtres sonores, une tentative d'industrialisation de la composition musicale. [...] Il s'agit :

1° d'établir un contrôle rigoureux des analyses des structures sonores qui constituent la musique, contrôle dont le critère ne peut être aujourd'hui que la possibilité de mécanisation ;

2° de mieux comprendre la nature de la création musicale en isolant expérimentalement son aspect objectif formalisable de son aspect proprement « humain » ;

3° de laisser la « machine » pousser à son extrême limite la logique d'un système dont elle fournirait un modèle abstrait sur lequel on peut encore s'interroger du point de vue « subjectif », mais en évitant [...] de confondre les problèmes de syntaxe avec ceux d'esthétique ;

4° d'alléger le travail matériel du compositeur et de simplifier et enrichir les méthodes d'enseignement de la composition musicale [...]

(P. Barbaud, Musique algorithmique, *Esprit*, 280, 1960, p. 92-96).



The cover of the magazine 'ESPRIT' features a large green title 'ESPRIT'. Below it, a subtitle reads 'La ville à trois vitesses : gentrification, relégation, périurbanisation'. The text continues: 'En France, urbaine après la politique de la ville, de la mondialisation et l'avenir des métropoles. En Europe, la démarcation de la ville rurale urbaine'. A small black and white photograph of a building at night is centered on the cover.



« But de ces recherches : réduire au minimum le travail fastidieux du compositeur et, à la limite, remplacer celui-ci »

(Comptes-rendus par M. Barbut du Séminaire sur les modèles mathématiques dans les sciences sociales, 1960-61, EPHE).



# Utilité du contrepoint et de la langue latine (selon Barbaud)

P. Barbaud, *Vademecum de l'ingénieur en musique*, Springer, 1993

« Le contrepoint est le latin de la musique. [...] Comme le latin, le contrepoint est l'école d'une certaine rigueur de pensée. [...] Il est impossible d'abstraire l'aspect contrapuntique d'une musique de son aspect proprement harmonique. Mais, de même que l'étude de l'harmonie exige qu'on évite de faire trop d'incursions dans le domaine du contrepoint, l'étude de ce dernier exige qu'on se soumette le discours polyphonique qu'au minimum de règles harmoniques sans lesquelles il n'existerait point. »

Modèle computationnel du contrepoint :

- une chaîne de Markov, qui engendre des successions d'accords parfaits de trois sons en rondes, à partir d'une table d'enchaînements d'accords munie de probabilités,
- une transduction rationnelle, qui orne ces accords (retards, notes de passages, broderies) à partir de tables de positions d'accords et de motifs prédéfinis (que Barbaud appelle des « agréments »).

A musical score for three voices (treble, alto, bass) in common time, 3 sharps key signature. The score consists of 12 staves of music, each with a different rhythmic pattern. The first staff starts with a dotted half note. The second staff starts with a quarter note. The third staff starts with a half note. The fourth staff starts with a quarter note. The fifth staff starts with a half note. The sixth staff starts with a quarter note. The seventh staff starts with a half note. The eighth staff starts with a quarter note. The ninth staff starts with a half note. The tenth staff starts with a quarter note. The eleventh staff starts with a half note. The twelfth staff starts with a quarter note. The score is composed of small dots representing individual notes. A speaker icon is located in the bottom right corner of the score area.

# La musique algorithmique et l'algèbre moderne



« [L'algèbre moderne permet] une **mécanisation des procédés de composition** dont le résultats à l'intérieur d'un système donné pourraient passer pour l'inspiration la plus instinctive aux oreilles de l'auditeur le plus averti »  
(P. Barbaud, Musique algorithmique, *Esprit*, 280, 1960, p. 92-96).

The diagram illustrates the connection between a musical score, a cycle diagram, and a musical staff.

- Musical Score:** A grid of numbers representing a musical score. A blue box highlights the first measure (measures 1-3). A green box highlights a specific cell in the grid.
- Cycle Diagram:** A circular diagram showing a sequence of notes labeled with numbers 1 through 11 and their corresponding names in French: sol, fa#, mi, la, sol#, la#, re, do#, si, do, and la#.
- Musical Staff:** A staff with musical notation. A blue box highlights a specific measure. A green box highlights another specific measure.

A blue arrow points from the blue box on the score to the blue box on the staff. A green arrow points from the green box on the score to the green box on the staff.

Pierre Barbaud et Janine Charbonnier,  
*Réseau aérien* (1962). Détail d'un feuillet  
préparatoire du cycle et partition  
correspondante, mesures 1-3  
[extrait de la thèse de Nicolas Viel, p. 436]

# La puissance de la combinatoire dans la musique algorithmique



P. Barbaud, *Factorielle 7* (1960), Troisième partie, mm 1 à 5  
[extrait de la thèse de Nicolas Viel, p. 436]

K    01 05 04 08 09 00 11 02 10 06 07 03

« Nous avions choisi pour notre œuvre le titre un peu littéraire de *Factorielle 7*, bien dans le goût cependant des titres prétentieux en usage dans les milieux de la musique expérimentale. Nous y traitions  $7! = 5040$  formes de la série 6, 5, 11, 7, 10, 9, 1, 3, 2, 0, 8, 4, exposées à quatre voix réelles dans une technique serielle peu conforme aux dogmes en usage au Domaine musical [...] ».

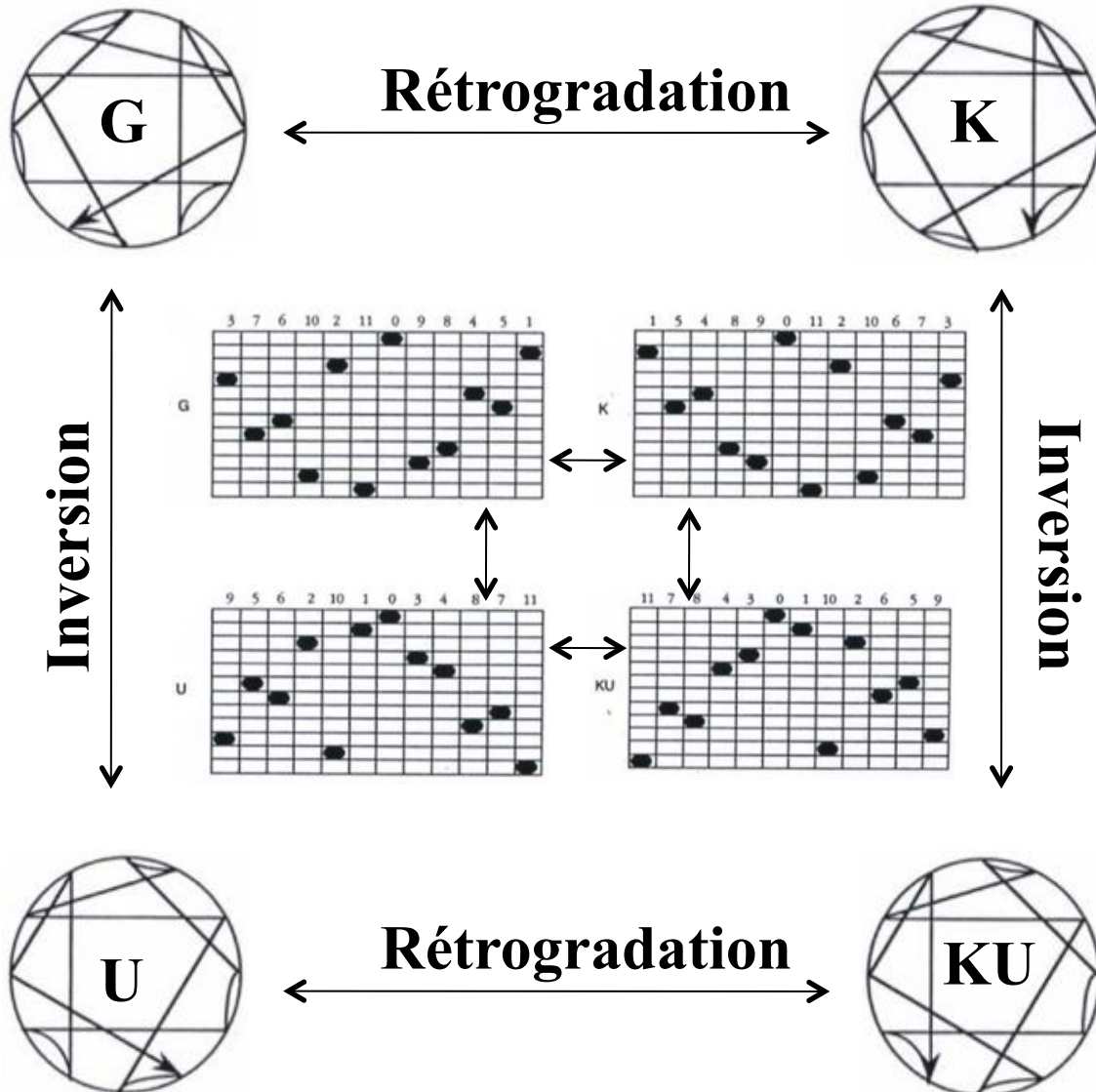
G    03 07 06 10 02 11 00 09 08 04 05 01  
G + 1 04 08 07 11 03 00 01 10 09 05 06 02  
G + 2 05 09 08 00 04 01 02 11 10 06 07 03  
G + 3 06 10 09 01 05 02 03 00 11 07 08 04

etc.

U    09 05 06 02 10 01 00 03 04 08 07 11  
U + 1 10 06 07 03 11 02 01 04 05 09 08 00

etc.

# Articulation algèbre/géométrie dans le sérialisme

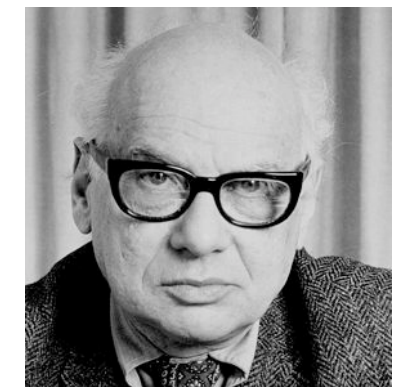


« [...] Si nous représentons les permutations G, K, U et KU par leurs « écussons », nous aurons les figures suivantes dont « l'air de famille » **saute aux yeux**, **comme il saute aux oreilles** sous son aspect sonore. [...] *Lorsqu'on étudie, sur les nouvelles structures (de la pensée logique, des mathématiques, de la théorie physique...), la pensée des mathématiciens ou des physiciens de notre époque, on mesure, assurément, quel immense chemin les musiciens doivent encore parcourir avant d'arriver à la cohésion d'une synthèse générale.* »

(P. Barbaud, *Schoenberg*, Editions Main d'Œuvre, 1997. Orig. 1963)

# Vers une formalisation algébrique du système dodécaphonique

The diagram shows four musical staves labeled S, I, R, and IR. Staff S is labeled "Série originelle" and shows a sequence of notes with red arrows indicating a specific ordering. Staff I is labeled "Inversion" and shows the same notes in a different order. Staff R is labeled "Rétrogradation" and shows the notes in reverse order. Staff IR is labeled "Rétrogradation inverse" and shows the notes in reverse order with additional red arrows indicating a different internal structure or mapping.



Le système dodécaphonique est « *un ensemble d'éléments, relations entre les éléments et operations sur les éléments. [...] Une vraie mathématisation aurait besoin d'une formulation et d'une présentation dictées par le fait que le système dodécaphonique est un groupe de permutations qui est façonné [shaped] par la structure de ce modèle mathématique*

M. Babbitt: *The function of Set Structure in the Twelve-Tone System*, PhD (1946/1992)

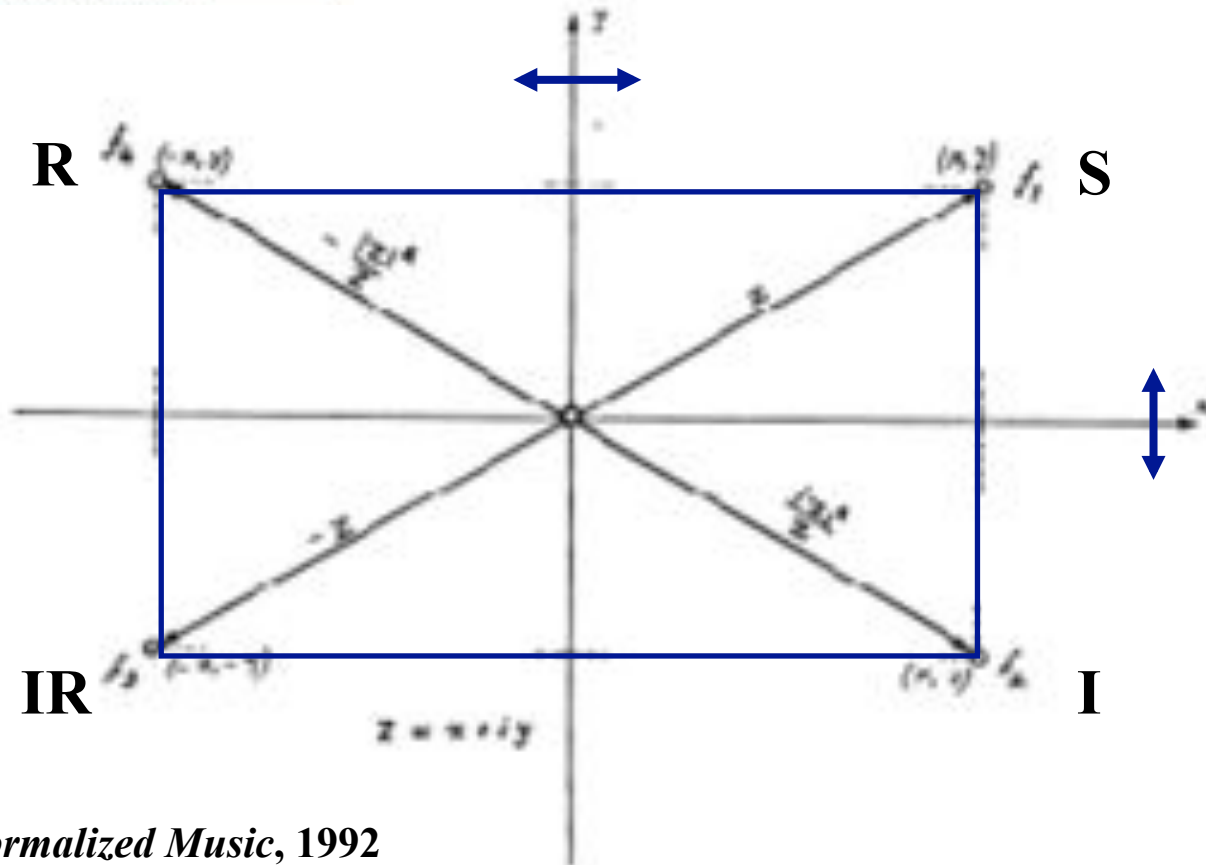
# Opérations dodécaphoniques et structures algébriques



	S	I	R	RI
S	S	I	R	RI
I	I	S	RI	R
R	R	RI	S	I
RI	RI	R	I	S

## Structure de groupe

- Cloture
- Existence de l'élément neutre
- Existence de l'invers
- Associativité



Iannis Xenakis, *Formalized Music*, 1992

Felix Klein

# Jeux dodécaphoniques et musique algorithmique

## • *Les Zwölftonspiele* de Josef Mathias Hauer

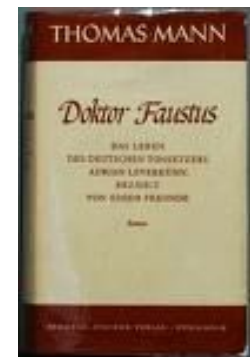


Figure 0.2 : Fig. 11.22 : Hauer, *Zwölftonspiel* (1958), mes. 1 in Barbaud, M.M. p. 46.  
[extrait de la thèse de Nicolas Viel, p. 452]

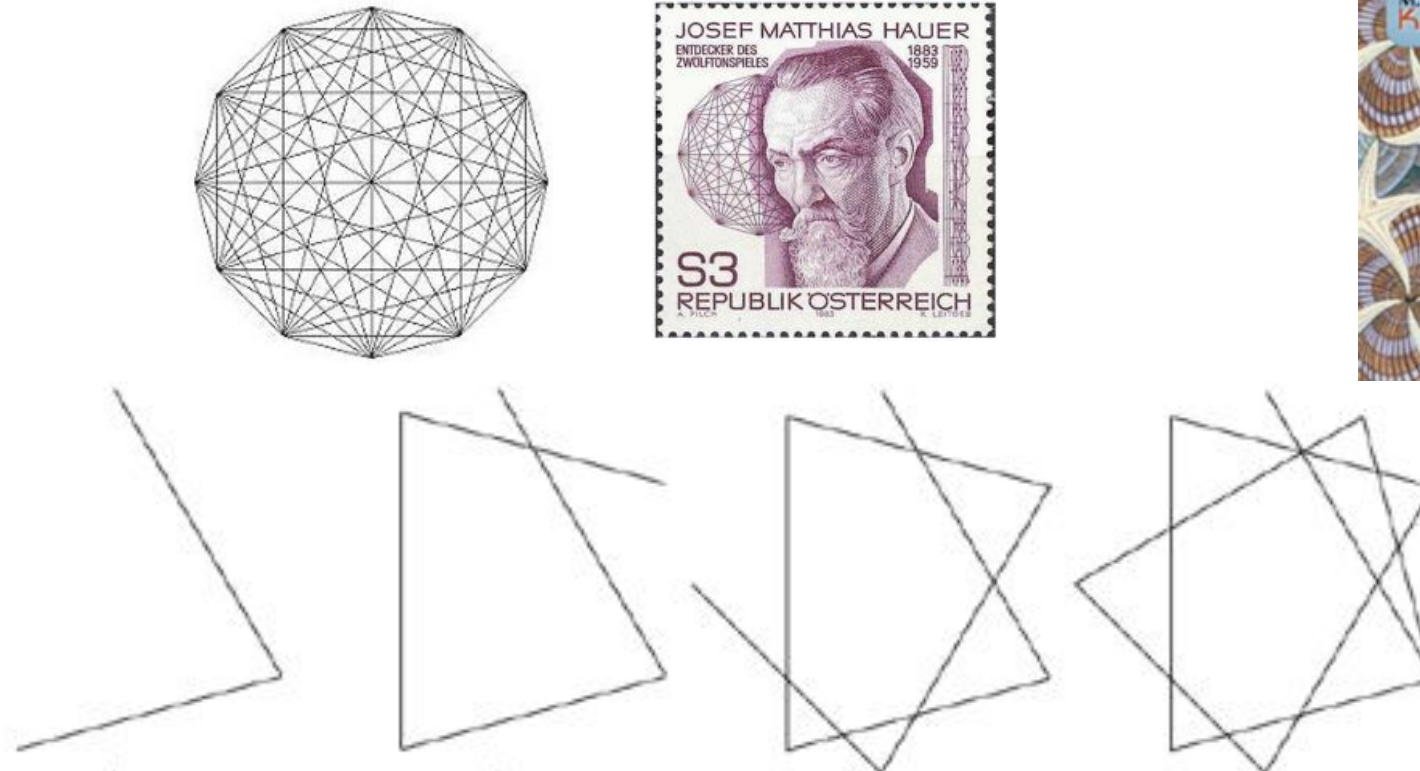
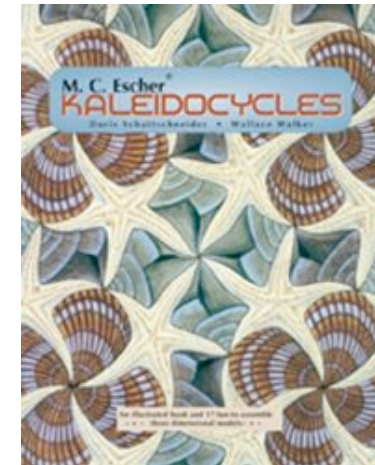
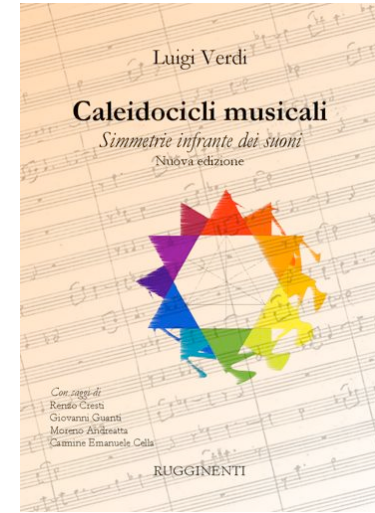
« *Zwölftonmusik ist keine Kunst im klassischen, romantischen, modernen Sinne, sondern ein kosmisches Spiel mit den 12 temperierten Halbtönen* ».



# Kaléïdocycles musicaux et pensée contrapuntique

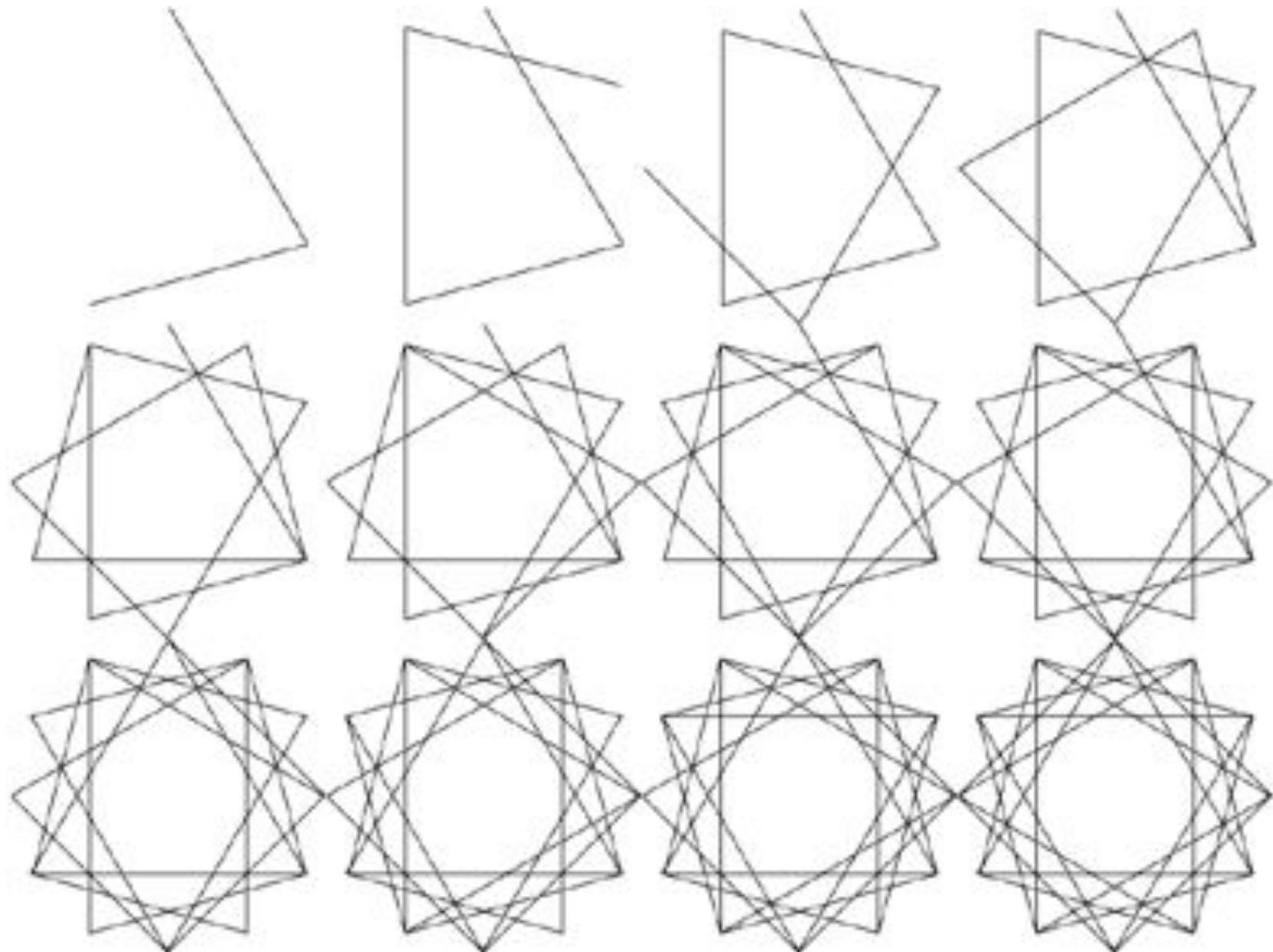
Luigi Verdi, *Caleidocicli musicali. Simmetrie infrante dei suoni*, 2005 (nouvelle édition, 2010)

Le kaléïdocycle est le résultat d'une transformation de l'espace dans le temps, à savoir d'une structure verticale en une structure horizontale: la structure périodique qui règle le développement temporel d'un kaléïdocycle est déduite initialement du contenu intervallique [vecteur d'intervalles dans le sens de la *pitch class set theory*] des accords employés. Dans cet ouvrage j'ai voulu présenter en détail certaines propriétés fondamentales de la technique des kaléïdocycles, une technique qui peut être à la base des différentes compositions. Grâce à sa grande ductilité, la technique peut donner lieu à de résultats complètement différent par rapport à ceux qui sont ici présentés.



# Kaléïdocycles musicaux et pensée contrapuntique

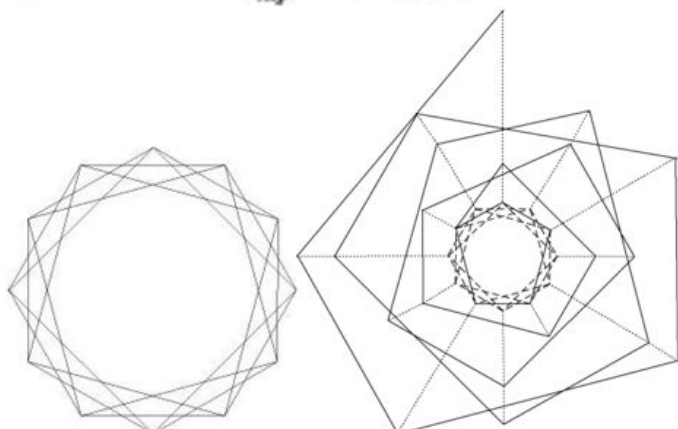
Luigi Verdi, *Caleidocicli musicali. Simmetrie infrante dei suoni*, 2005 (nouvelle édition, 2010)



# Kaléïdocycles musicaux et pensée contrapuntique



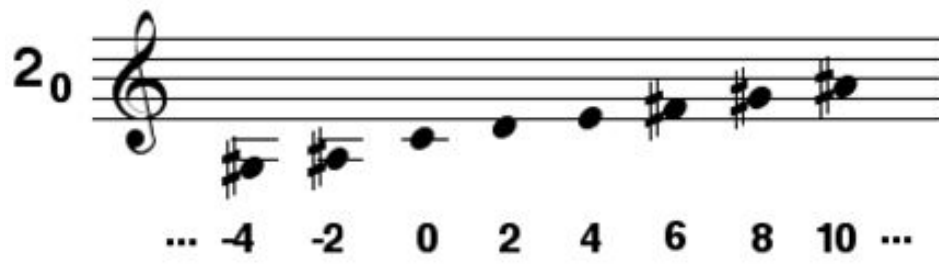
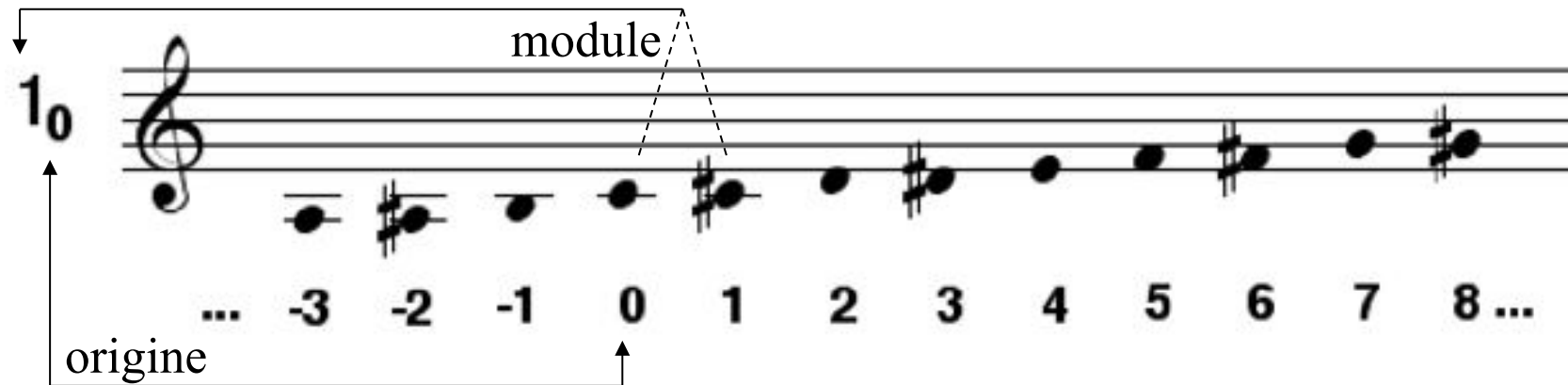
Luigi Verdi, *Caleidocicli musicali. Simmetrie infrante dei suoni*, 2005 (nouvelle édition, 2010)



- ***Vana Sonoritas* (1990), pour 9 cors (durée : 8')**
- ***Complainte* (1987), pour 2 flutes, 2 harpes, célesta et voix (durée : 3')**

# La théorie des cribles

Formalisation algébrique des structures musicales selon Xenakis



$$1_0 = 2_0 \cup 2_1$$

$$2_0 \cap 2_1 = \emptyset$$

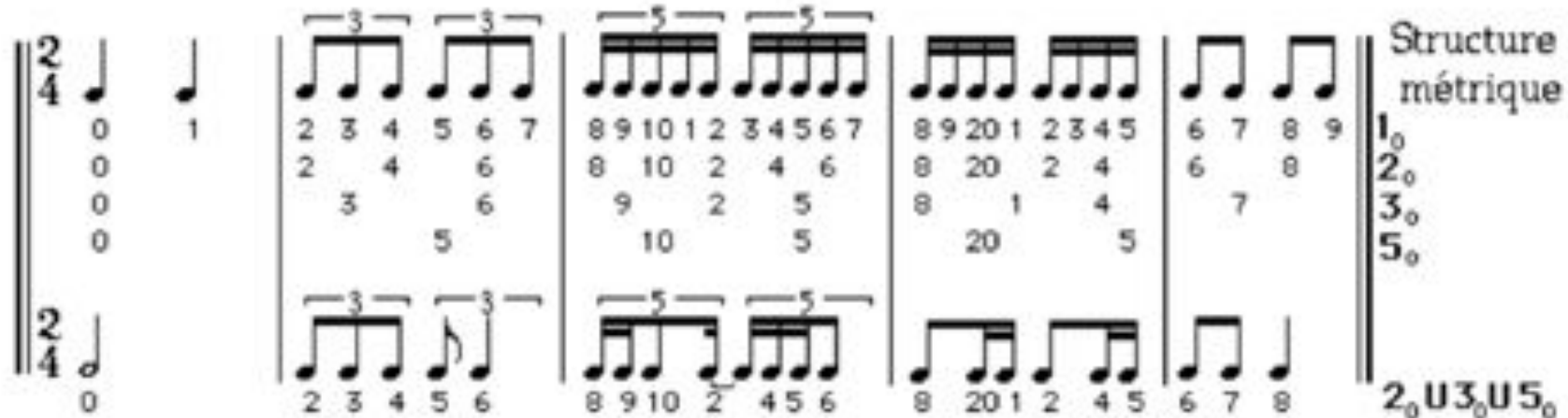
$$(2_0)^c = 2_1$$

$$(2_1)^c = 2_0.$$

# Formalismes et modèles pour la composition algorithmique chez André Riotte



## Extension de la théorie des cibles (Riotte *et al.* 1986)



### Exemple 8

*Pattern rythmique obtenu à travers des opérations ensemblistes (union) sur des cibles élémentaires, mais appliquées à une structure métrique de base qui n'est pas un train de pulsations régulières*

## Extension de la théorie des cibles : *Partitions-gouffres* (1986) d'André Riotte

---

Musical score for "Partitions-gouffres" by André Riotte, featuring multiple staves for different instruments:

- Staves 0 through 11: Represented by vertical lines with horizontal dashes indicating note heads. Stave 0 has sixteenth-note patterns. Staves 1, 2, 3, and 7 have eighth-note patterns. Staves 4, 5, 6, 8, 9, and 10 are mostly blank.
- GONG: A single staff with a sustained note and a dynamic marking *f*.
- PLAYER 1: A bracketed group of four staves labeled *TOMES*. Staff *t*<sub>12</sub> has eighth-note patterns with a dynamic *mp*. Staff *t*<sub>13</sub> has eighth-note patterns with a dynamic *mp*. Staff *t*<sub>14</sub> has eighth-note patterns with a dynamic *mp*. Staff *t*<sub>01</sub> has sixteenth-note patterns.
- dr<sub>01</sub>: A single staff with a sustained note and a dynamic marking *d*.

# Extension de la théorie des cribles : *Partitions-gouffres* (1986) d'André Riotte

ICR-Partitions-6.PART.GOUF.

9/05/90 13:53:07

Page 1

Introduction de PERCUSSIONS-GOUFFRES pour 4 Percussions, André RIOTTE  
 ;Gouffres : (G1 5 0) (G2 7 0) (G3 11 0 3) (G4 13 0 1)  
 ;PPCM : 5005 Univers : (0 441) Etendue : (0 441)

;Ensemble Image \*P\* cardinal 232

;O Complément \*CP\* cardinal 210

;Partition de \*P\* :  
 ;1: génératrice (G1) cardinal : 51  
 ;2: génératrice (G2) cardinal : 36  
 ;3: génératrice (G3) cardinal : 46  
 ;4: génératrice (G4) cardinal : 37  
 ;5: génératrice (G1 G2) cardinal : 9  
 ;6: génératrice (G1 G3) cardinal : 13  
 ;7: génératrice (G1 G4) cardinal : 11  
 ;8: génératrice (G2 G3) cardinal : 7  
 ;9: génératrice (G2 G4) cardinal : 6  
 ;10: génératrice (G3 G4) cardinal : 9  
 ;11: génératrice (G1 G2 G3) cardinal : 2  
 ;12: génératrice (G1 G2 G4) cardinal : 1  
 ;13: génératrice (G1 G3 G4) cardinal : 1  
 ;14: génératrice (G2 G3 G4) cardinal : 2  
 ;15: génératrice (G1 G2 G3 G4) cardinal : 1

début : 0 fin : 71

mes. 1

2

3

(11 15)

(1 7)

(2 9)

(3 10)

Perc.1

(12 15)

(1 6)

(2 8)

(4 10)

Perc.2

(13 15)

(1 5)

(3 8)

(4 9)

Perc.3

(14 15)

(2 5)

(3 6)

(4 7)

Perc.4

début : 72 fin : 143

mes. 4

5

6

Perc.1

(11 15)

(1 7)

(2 9)

(3 10)

(12 15)

(1 6)

(2 8)

(4 10)

Perc.2

(13 15)

(1 5)

(3 8)

(4 9)

Perc.3

(14 15)

(2 5)

(3 6)

(4 7)

Perc.4

## PARTITIONS-GOUFFRES

André RIOTTE

Aussi vite que possible pour conserver une  
 claire articulation. ( $\text{d} = 108$ ).  
 les accents très marqués



Tous des variations de nuances, même décalage entre  
 notes accentuées et non accentuées. Nuance pp : ces  
 dernières presque imperceptibles.



© 1986 by André RIOTTE

Propriété de l'Auteur. Tous droits réservés.



Rythmes irreguliers



Rythmes reguliers

# Séquences périodiques et calcul des différences finies

$$Df(x) = f(x) - f(x-1)$$

$$\begin{aligned} f &= 7 \begin{smallmatrix} 11 \\ \backslash \backslash \end{smallmatrix} 10 \ 11 \ 7 \ 2 \ 7 \ 11 \ 10 \ 11 \ 7 \ 2 \ 7 \ 11 \dots \\ Df &= 4 \begin{smallmatrix} 11 \\ \backslash \backslash \end{smallmatrix} 1 \ 8 \ 7 \ 5 \ 4 \ 11 \ 1 \ 8 \ 7 \ 5 \ 4 \ 11 \dots \\ D^2f &= 11 \begin{smallmatrix} 7 \\ \backslash \backslash \end{smallmatrix} 2 \ 7 \ 11 \ 0 \ 11 \ 7 \ 2 \ 7 \ 11 \ 0 \dots \\ D^3f &= 1 \begin{smallmatrix} 8 \\ \backslash \backslash \end{smallmatrix} 7 \ 5 \ 4 \ 11 \ 1 \ 8 \ 7 \ 5 \ 4 \ 11 \dots \\ D^k f &= \dots \end{aligned}$$



Anatol Vieru (1926-1998)

*dolassimo*

V	0	3	8	7	11	0	11	10	6	9	0	9	1	2	9	8	4	3	6
VIII	0	0	0	3	3		7	2	0	0	0	6	3	3	3	4	8	0	0
IV	3	3	4	4	1	11	11	8	3	3	9	4	1	7	11	8	11	3	9
IX	0	0	0	0	3		6	[1]	3	3	3	3	9	0	3	6	[10]	6	6
IV	0	10	3	9	10	0	9	7	0	6	7	9	6	4	9	3	4	6	3

Anatol Vieru: *Zone d'oubli* pour alto (1973)

# Suites réductibles et suites reproductibles

$$\begin{aligned}
 f &= 11 \backslash \begin{matrix} 6 \\ 7 \end{matrix} \backslash \begin{matrix} 2 \\ 3 \end{matrix} \backslash \begin{matrix} 10 \\ 11 \end{matrix} 6 \dots \\
 Df &= 7 \backslash \begin{matrix} 1 \\ 7 \end{matrix} \backslash \begin{matrix} 1 \\ 7 \end{matrix} \backslash \begin{matrix} 1 \\ 7 \end{matrix} \dots \\
 D^2f &= 6 \backslash \begin{matrix} 6 \\ 6 \end{matrix} \backslash \begin{matrix} 6 \\ 6 \end{matrix} \dots \\
 D^4f &= 0 \quad 0 \quad 0
 \end{aligned}$$

Reducible sequences:  
 $\exists k \geq 1$  such that  $D^k f = 0$

**Théorème de décomposition:** Toute sequence périodique (à valeurs dans un groupe cyclique  $\mathbf{Z}/n\mathbf{Z}$ ) peut se décomposer de façon unique en somme d'une sequence reductible et d'une sequence reproductible (2001)

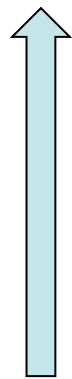
$$\begin{aligned}
 f &= 7 \backslash \begin{matrix} 11 \\ 10 \end{matrix} \backslash \begin{matrix} 11 \\ 7 \end{matrix} \backslash \begin{matrix} 2 \\ 7 \end{matrix} \backslash \begin{matrix} 11 \\ 11 \end{matrix} \dots \\
 Df &= 4 \backslash \begin{matrix} 11 \\ 1 \end{matrix} \backslash \begin{matrix} 8 \\ 7 \end{matrix} \backslash \begin{matrix} 5 \\ 4 \end{matrix} \backslash \begin{matrix} 11 \\ 11 \end{matrix} \dots \\
 D^2f &= 7 \backslash \begin{matrix} 2 \\ 7 \end{matrix} \backslash \begin{matrix} 11 \\ 10 \end{matrix} \backslash \begin{matrix} 11 \\ 11 \end{matrix} \backslash \begin{matrix} 7 \\ 2 \end{matrix} \dots \\
 D^3f &= 7 \backslash \begin{matrix} 5 \\ 4 \end{matrix} \backslash \begin{matrix} 11 \\ 11 \end{matrix} \backslash \begin{matrix} 1 \\ 8 \end{matrix} \backslash \begin{matrix} 7 \\ 5 \end{matrix} \backslash \begin{matrix} 4 \\ 11 \end{matrix} \backslash \begin{matrix} 1 \\ 8 \end{matrix} \dots \\
 D^4f &= 10 \backslash \begin{matrix} 11 \\ 7 \end{matrix} \backslash \begin{matrix} 2 \\ 7 \end{matrix} \backslash \begin{matrix} 11 \\ 11 \end{matrix} \backslash \begin{matrix} 10 \\ 11 \end{matrix} \dots \\
 D^5f &= 1 \backslash \begin{matrix} 8 \\ 7 \end{matrix} \backslash \begin{matrix} 5 \\ 4 \end{matrix} \backslash \begin{matrix} 11 \\ 11 \end{matrix} \backslash \begin{matrix} 1 \\ 8 \end{matrix} \dots \\
 D^6f &= 7 \backslash \begin{matrix} 11 \\ 10 \end{matrix} \backslash \begin{matrix} 11 \\ 7 \end{matrix} \backslash \begin{matrix} 2 \\ 7 \end{matrix} \backslash \begin{matrix} 11 \\ 11 \end{matrix} \dots
 \end{aligned}$$

Reproducible sequences:  
 $\exists k \geq 1$  such that  $D^k f = f$



23-Decompo

# Processus de croissance



$$\begin{aligned} A^3g &= & 8 & 4 & 8 & 10 & 11 & 1 & 5 & 1 & 2 & 10 & 2 & 4 & 5 & 7 & 11 & 7 & 8 & 4 \dots \\ A^2g &= & 8 & 4 & 2 & 1 & 2 & 4 & 8 & 1 & 8 & 4 \dots \\ Ag &= & 8 & 10 & 11 & 1 & 2 & 4 & 5 & 7 & 8 & 10 \dots \\ g &= & 2 & 1 & 2 & 1 & 2 & 1 & 2 & 1 & 2 & 1 \end{aligned}$$



24-Growing

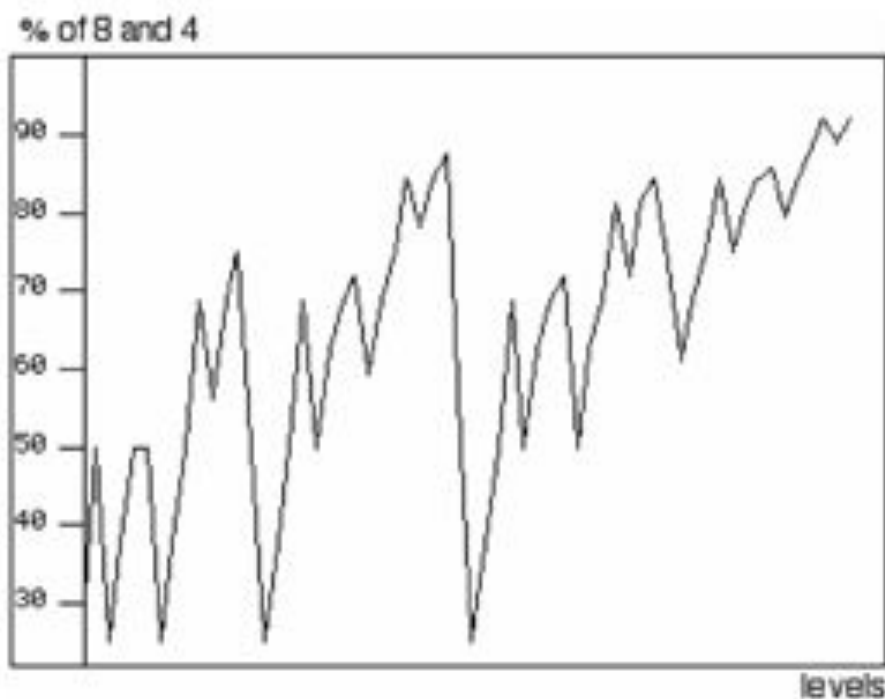


Fig. 11 Initial values equal to 8

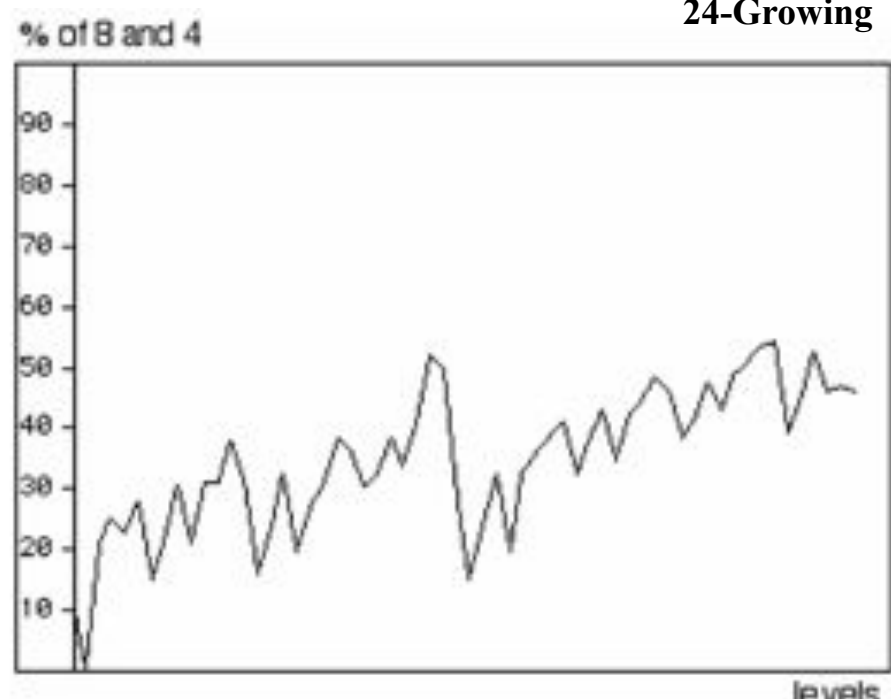
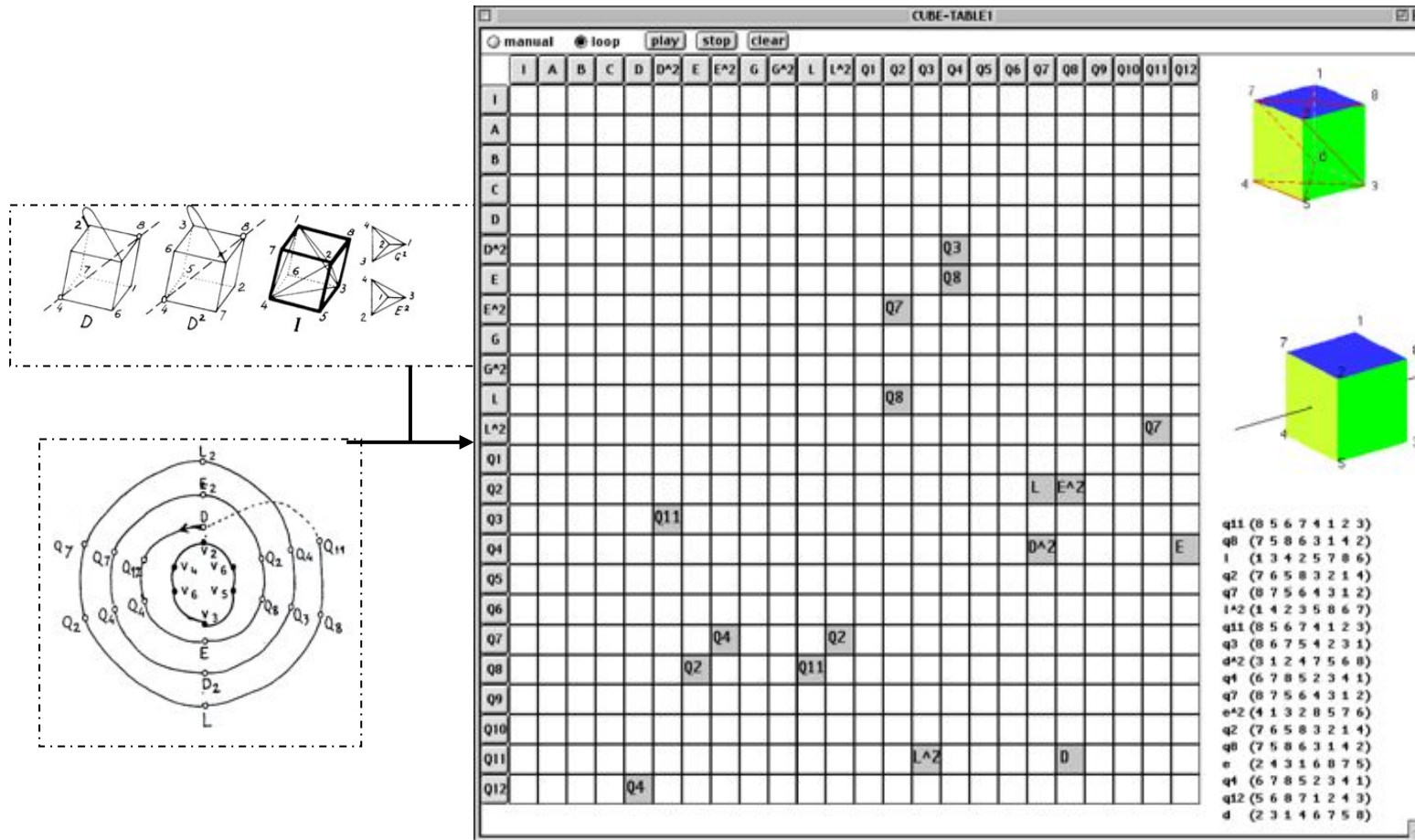


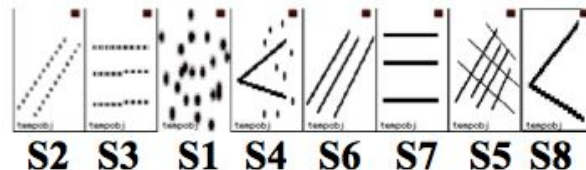
Fig. 15 Initial values equal to 4

# Séquences périodiques dans *Nomos Alpha* (1966)

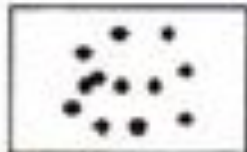


« *Musique symbolique* pour violoncelle seul, possède une architecture « hors-temps » fondée sur la théorie des groupes de transformations. Il y fait usage de la théorie des cribles, théorie qui annexe les congruence modulo  $n$  et qui est issue d'une axiomatique de la structure **universelle** de la musique » (Iannis Xenakis)

# Matériaux musicaux : les complexes sonores



S1



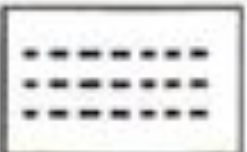
Ataxic cloud of sound-points.

S2



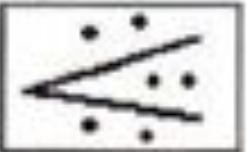
Relatively ordered ascending or descending cloud of sound-points.

S3



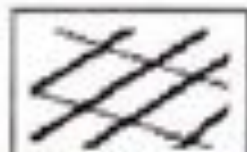
Relatively ordered cloud of sound-points, neither ascending nor descending.

S4



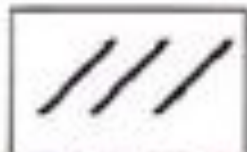
Ataxis field of sliding sounds.

S5



Relatively ordered ascending or descending field of sliding sounds.

S6



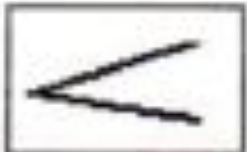
Relatively ordered field of sliding sounds, neither ascending nor descending.

S7



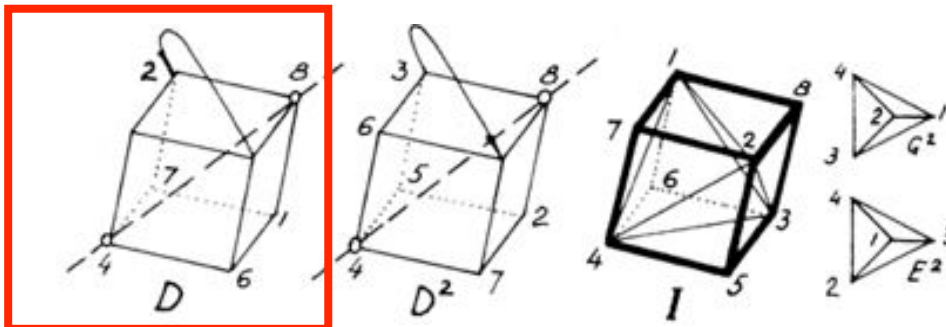
Atom represented on a cello by interferences of a quasi-unison.

S8



Ionized atom represented on a cello by interferences, accompanied by pizzicati.

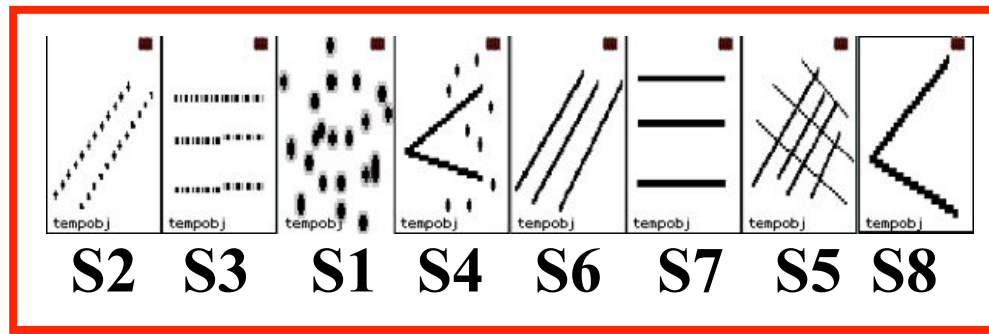
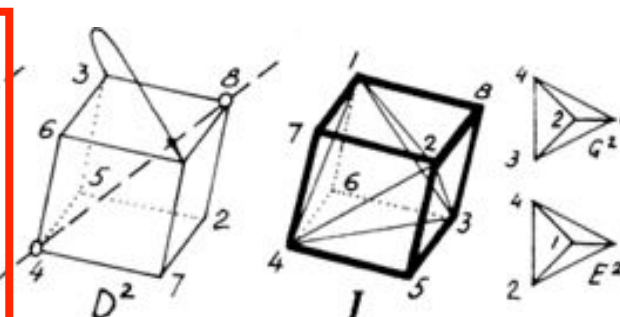
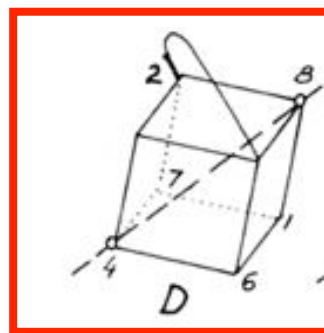
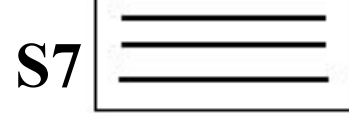
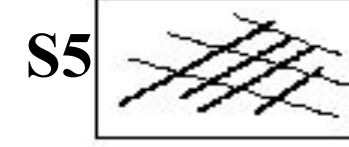
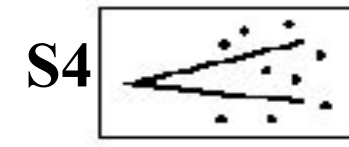
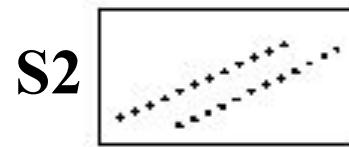
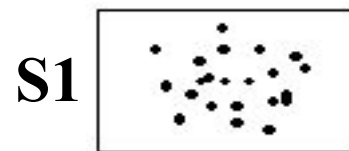
# Principe combinatoire : groupe des rotations du cube dans l'espace



	I	A	B	C	D	D2	E	E2	G	G2	L	L2	g1	g2	g3	g4	g5	g6	g7	g8	g9	g10	g11	g12
I	I	A	B	C	D	D2	E	E2	G	G2	L	L2	g1	g2	g3	g4	g5	g6	g7	g8	g9	g10	g11	g12
A	A	I	C	B	G	L2	G2	L2	D	E	D2	E2	g7	g4	g5	g6	g3	g10	g11	g12	g8	g9	g1	g2
B	B	C	I	A	L2	E	D2	G	E2	L	G2	D	g8	g9	g6	g11	g10	g12	g1	g2	g3	g4	g7	
C	C	B	A	I	E2	G2	L	D	L2	D2	E	G	g22	g11	g10	g8	g9	g12	g1	g2	g3	g4	g6	g1
D	D	L2	E2	G	D2	I	C	L	E	A	B	D2	g3	g6	g4	g5	g2	g1	g6	g5	g4	g3	g2	g1
D2	D2	G2	L	E	I	D	G	B	C	L2	E2	A	g4	g10	g1	g5	g11	g12	g6	g7	g8	g9	g10	g11
E	E	L	G2	D2	B	L2	E2	I	A	E	G	C	g11	g8	g6	g4	g7	g5	g3	g12	g1	g2	g3	g4
E2	E2	G2	D	L2	G2	C	I	E	L	B	A	D2	g10	g7	g9	g12	g3	g5	g6	g4	g11	g1	g2	g1
G	G	E2	L2	B	S	A	B	D2	G2	E2	A	C	g12	g2	g7	g8	g10	g11	g1	g4	g5	g6	g3	g2
G2	G2	H2	R	L	C	H2	L2	A	J	G	P	M	g13	g2	g7	g8	g10	g11	g1	g4	g5	g6	g3	g2
G3	G3	H3	L2	S	A	H3	L3	K	C	P	M	N	g14	g2	g7	g8	g10	g11	g1	g4	g5	g6	g3	g2
G4	G4	H4	R	L	C	H4	L4	A	J	G	P	M	g15	g2	g7	g8	g10	g11	g1	g4	g5	g6	g3	g2
G5	G5	X	Q2	Q3	A	Q4	Q5	C	Q6	Q7	Q8	Q9	Q10	Q11	Q12	Q13	Q14	Q15	Q16	Q17	Q18	Q19	Q20	Q21
G6	G6	X2	Q22	Q23	B	Q24	Q25	D	Q26	Q27	Q28	Q29	Q30	Q31	Q32	Q33	Q34	Q35	Q36	Q37	Q38	Q39	Q40	Q41
G7	G7	X3	Q32	Q33	C	Q34	Q35	E	Q36	Q37	Q38	Q39	Q40	Q41	Q42	Q43	Q44	Q45	Q46	Q47	Q48	Q49	Q50	Q51
G8	G8	X4	Q42	Q43	D	Q44	Q45	F	Q46	Q47	Q48	Q49	Q50	Q51	Q52	Q53	Q54	Q55	Q56	Q57	Q58	Q59	Q60	Q61
G9	G9	X5	Q52	Q53	E	Q54	Q55	G	Q56	Q57	Q58	Q59	Q60	Q61	Q62	Q63	Q64	Q65	Q66	Q67	Q68	Q69	Q70	Q71
G10	G10	X6	Q62	Q63	F	Q64	Q65	H	Q66	Q67	Q68	Q69	Q70	Q71	Q72	Q73	Q74	Q75	Q76	Q77	Q78	Q79	Q80	Q81
G11	G11	X7	Q72	Q73	G	Q74	Q75	I	Q76	Q77	Q78	Q79	Q80	Q81	Q82	Q83	Q84	Q85	Q86	Q87	Q88	Q89	Q90	Q91
G12	G12	X8	Q82	Q83	H	Q84	Q85	J	Q86	Q87	Q88	Q89	Q90	Q91	Q92	Q93	Q94	Q95	Q96	Q97	Q98	Q99	Q100	Q101

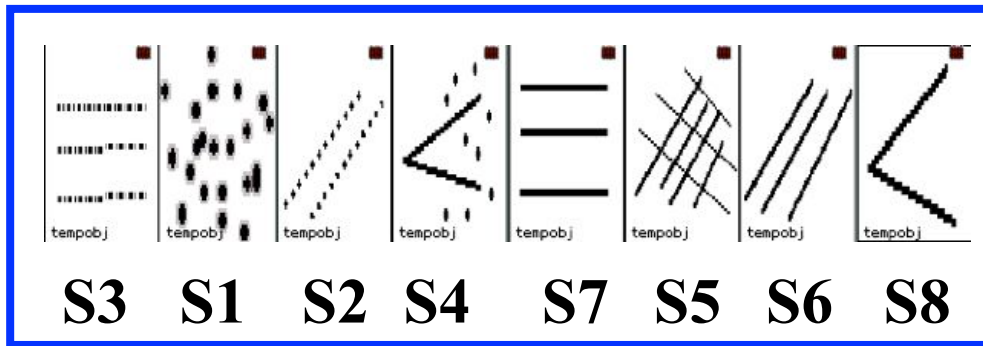
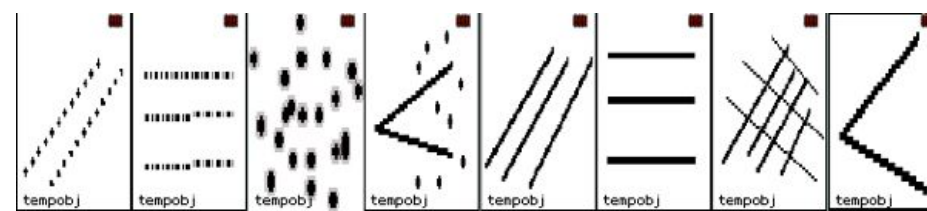
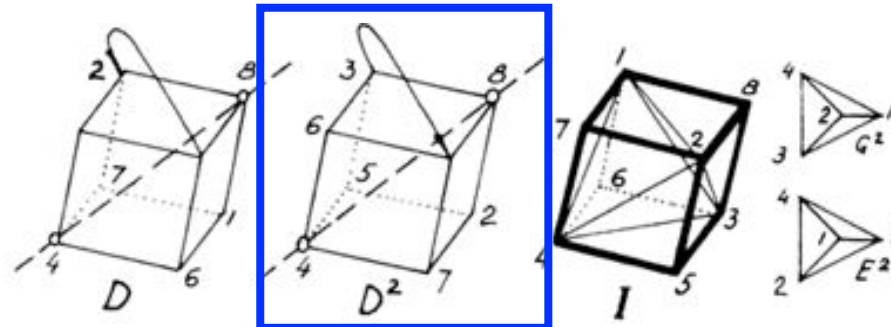
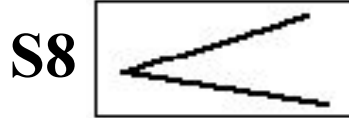
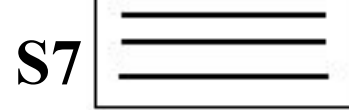
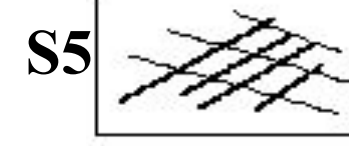
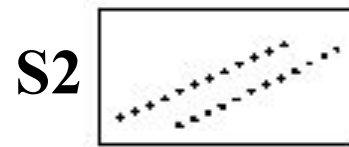
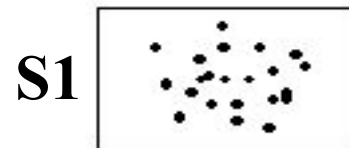
I	12345678
A	21436587
B	34127856
C	43218765
D	23146758
D <sup>2</sup>	31247568
E	24316875
E <sup>2</sup>	41328576
G	32417685
G <sup>2</sup>	42138657
L	13425786
L <sup>2</sup>	14235867
Q <sub>1</sub>	78653421
Q <sub>2</sub>	76583214
Q <sub>3</sub>	86754231
Q <sub>4</sub>	67852341
Q <sub>5</sub>	68572413
Q <sub>6</sub>	65782134
Q <sub>7</sub>	87564312
Q <sub>8</sub>	75863142
Q <sub>9</sub>	58761432
Q <sub>10</sub>	57681324
Q <sub>11</sub>	85674123
Q <sub>12</sub>	56871243

# Procédés algorithmiques dans *Nomos Alpha* de I. Xenakis



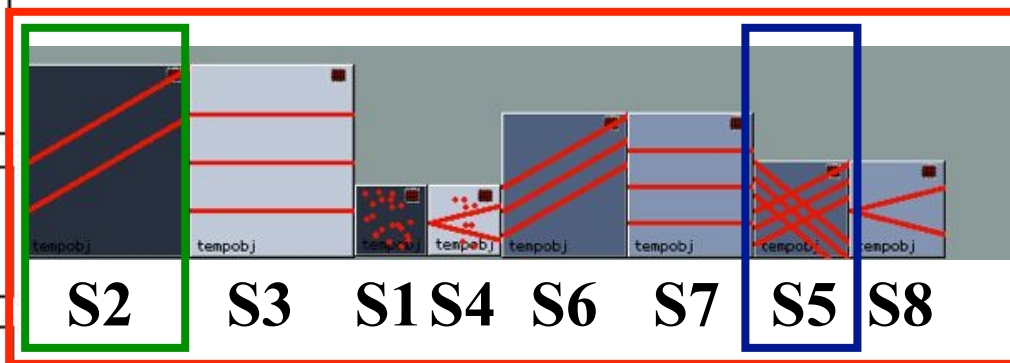
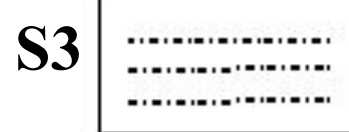
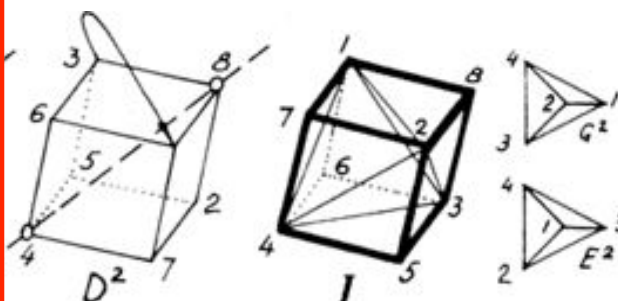
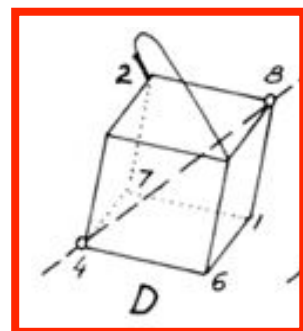
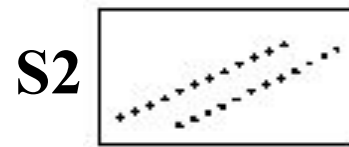
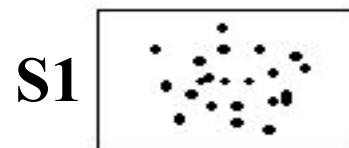
I	12345678
A	21436587
B	34127856
C	43218765
D	23146758
$D^2$	31247568
E	24316875
$E^2$	41328576
G	32417685
$G^2$	42138657
L	13425786
$L^2$	14235867
$Q_1$	78653421
$Q_2$	76583214
$Q_3$	86754231
$Q_4$	67852341
$Q_5$	68572413
$Q_6$	65782134
$Q_7$	87564312
$Q_8$	75863142
$Q_9$	58761482
$Q_{10}$	57681324
$Q_{11}$	85674123
$Q_{12}$	56871243

# Procédés algorithmiques dans *Nomos Alpha* de I. Xenakis



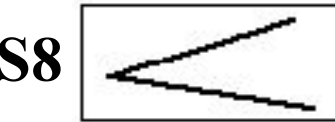
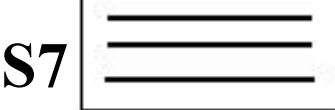
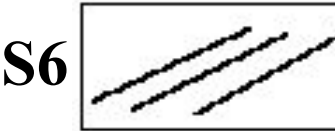
I	12345678
A	21436587
B	34127856
C	43218765
D	23146758
<b>D<sup>2</sup></b>	<b>31247568</b>
E	24316875
E <sup>2</sup>	41328576
G	32417685
G <sup>2</sup>	42138657
L	13425786
L <sup>2</sup>	14235867
Q <sub>1</sub>	78653421
Q <sub>2</sub>	76583214
Q <sub>3</sub>	86754231
Q <sub>4</sub>	67852341
Q <sub>5</sub>	68572413
Q <sub>6</sub>	65782134
Q <sub>7</sub>	87564312
Q <sub>8</sub>	75863142
Q <sub>9</sub>	58761482
Q <sub>10</sub>	57681324
Q <sub>11</sub>	85674123
Q <sub>12</sub>	56871243

# Procédés algorithmiques dans *Nomos Alpha* de I. Xenakis



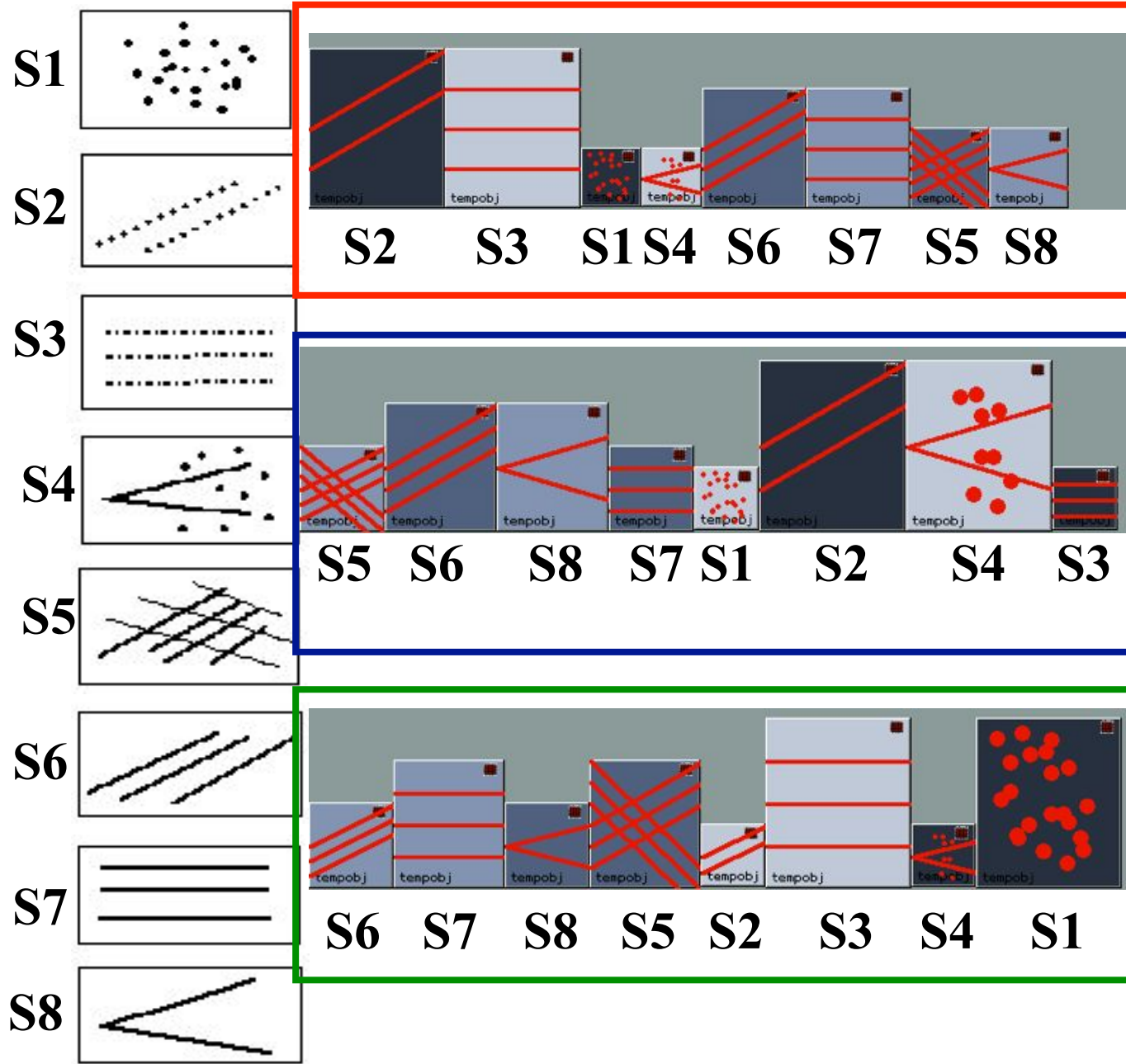
$$\begin{aligned}\kappa^{w_1} &= 1 \cdot mf \cdot 2 \rightarrow = 2mf \rightarrow \\ \kappa^{w_2} &= 1 \cdot fff \cdot 4.5 = 4.5fff \rightarrow \\ \kappa^{w_3} &= 2.5 \cdot fff \cdot 4.5 = 11.25fff \rightarrow \\ \kappa^{w_4} &= 2.5 \cdot mf \cdot 2 = 5mf \rightarrow \\ \kappa^{w_5} &= 1.5 \cdot f \cdot 2.62 = 3.93f \rightarrow \\ \kappa^{w_6} &= 1.5 \cdot ff \cdot 3.44 = 5.15ff \rightarrow \\ \kappa^{w_7} &= 2.0 \cdot ff \cdot 3.44 = 6.88ff \rightarrow \\ \kappa^{w_8} &= 2.0 \cdot f \cdot 2.62 = 5.24f \rightarrow\end{aligned}$$

$$\begin{aligned}\kappa^{x_1} &= 0.5 \cdot mf \cdot 2 = 1mf \rightarrow \\ \kappa^{x_2} &= 0.5 \cdot fff \cdot 4.5 = 2.25fff \rightarrow \\ \kappa^{x_3} &= 5 \cdot fff \cdot 4.5 = 22.5fff \rightarrow \\ \kappa^{x_4} &= 5.0 \cdot mf \cdot 2 = 10.0mf \rightarrow \\ \kappa^{x_5} &= 1.08 \cdot f \cdot 2.62 = 2.83f \rightarrow \\ \kappa^{x_6} &= 1.08 \cdot ff \cdot 3.44 = 3.72ff \rightarrow \\ \kappa^{x_7} &= 2.32 \cdot ff \cdot 3.44 = 7.98ff \rightarrow \\ \kappa^{x_8} &= 2.32 \cdot f \cdot 2.62 = 6.08f \rightarrow\end{aligned}$$



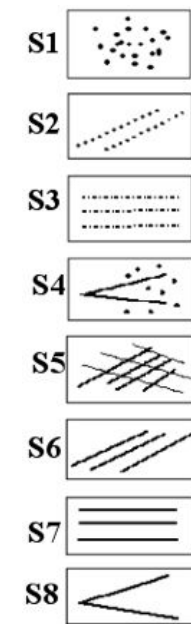
$$\begin{aligned}\kappa^{r_1} &= 1 \cdot mf \cdot 2 = 2mf \rightarrow \\ \kappa^{r_2} &= 1 \cdot fff \cdot 2 \rightarrow = 2fff \rightarrow \\ \kappa^{r_3} &= 4.0 \cdot fff \cdot 4.5 = 18.0fff \rightarrow \\ \kappa^{r_4} &= 4.0 \cdot mf \cdot 2.0 = 8.0mf \rightarrow \\ \kappa^{r_5} &= 2.0 \cdot f \cdot 2.62 = 5.24f \rightarrow \\ \kappa^{r_6} &= 2.0 \cdot ff \cdot 3.44 = 6.88ff \rightarrow \\ \kappa^{r_7} &= 3.0 \cdot ff \cdot 3.44 = 10.32ff \rightarrow \\ \kappa^{r_8} &= 3.0 \cdot f \cdot 2.62 = 7.86f \rightarrow\end{aligned}$$

# Procédés algorithmiques dans *Nomos Alpha* de I. Xenakis

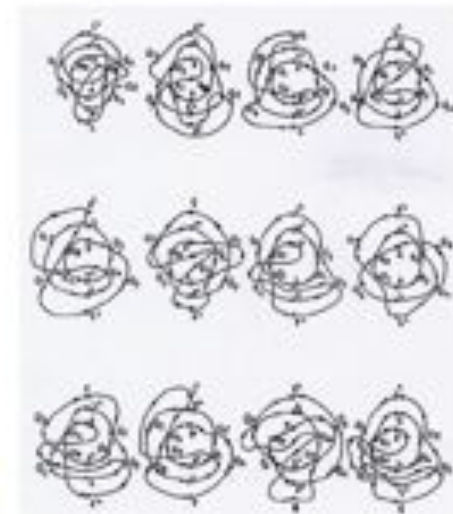
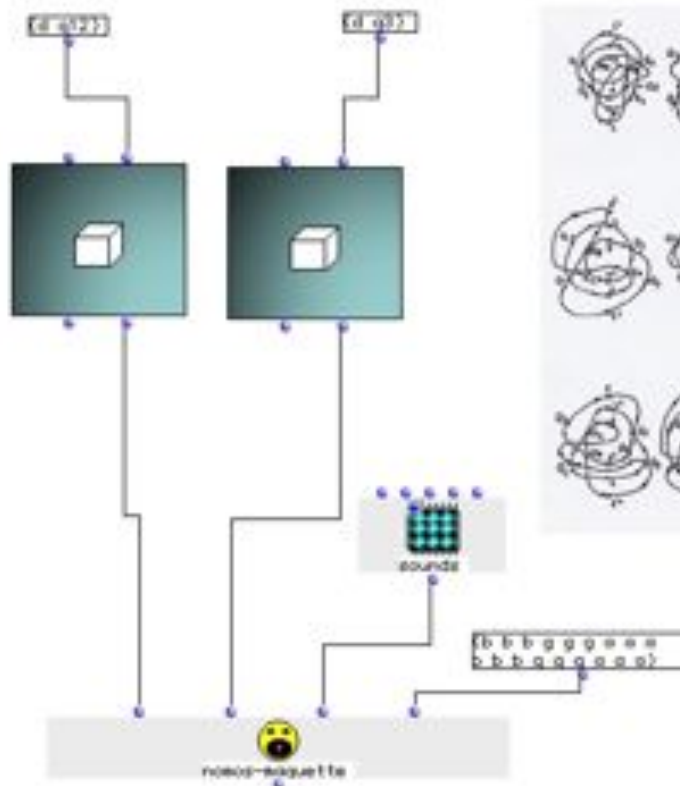
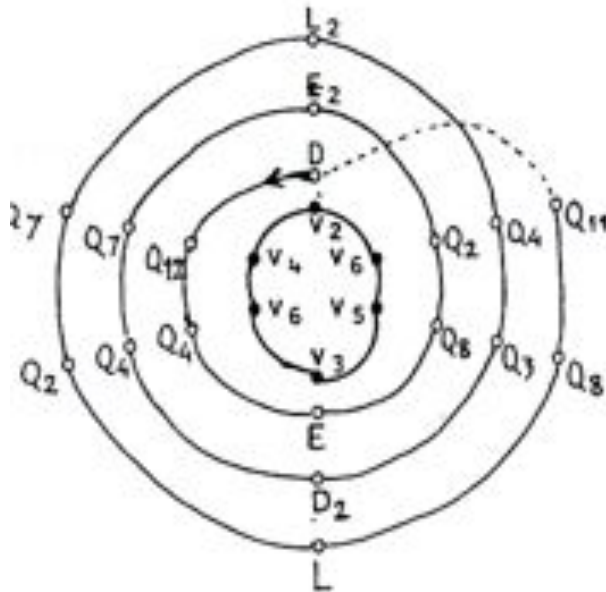


I	12345678
A	21436587
B	34127856
C	43218765
D	23146758
$D^2$	31247568
E	24316875
$E^2$	41328576
G	32417685
$G^2$	42138657
L	13425786
$L^2$	14235867
$Q_1$	78653421
$Q_2$	76583214
$Q_3$	86754231
$Q_4$	67852341
$Q_5$	68572413
$Q_6$	65782134
$Q_7$	87564312
$Q_8$	75863142
$Q_9$	58761482
$Q_{10}$	57681324
$Q_{11}$	85674123
$Q_{12}$	56871243

# Implémentation du processus compositionnel en *OpenMusic*



<i>I</i>	12345678
<i>A</i>	21436587
<i>B</i>	34127856
<i>C</i>	43218765
<i>D</i>	23146758
<i>D</i> <sup>2</sup>	31247568
<i>E</i>	24316875
<i>E</i> <sup>2</sup>	41328576
<i>G</i>	32417685
<i>G</i> <sup>2</sup>	42138657
<i>L</i>	13425786
<i>L</i> <sup>2</sup>	14235867
<i>Q</i> <sub>1</sub>	78653421
<i>Q</i> <sub>2</sub>	76583214
<i>Q</i> <sub>3</sub>	86754231
<i>Q</i> <sub>4</sub>	67852341
<i>Q</i> <sub>5</sub>	68572418
<i>Q</i> <sub>6</sub>	65782134
<i>Q</i> <sub>7</sub>	87564312
<i>Q</i> <sub>8</sub>	75863142
<i>Q</i> <sub>9</sub>	58761432
<i>Q</i> <sub>10</sub>	57681324
<i>Q</i> <sub>11</sub>	85674123
<i>Q</i> <sub>12</sub>	56871243



- C. Agon, M. Andreatta, G. Assayag et S. Schaub, “Formal aspects of Iannis Xenakis’ Symbolic Music: a computer-aided exploration of some compositional processes”, *Journal of New Music Research*, June 2004, Vol. 33, No. 2, pp. 145-159.
- M. Andreatta and C. Agon, “Structure and Symmetry in Iannis Xenakis *Nomos Alpha* for cello solo”, *Symmetry: Art and Science*, (ISIS – Symmetry), G. Lugosi et D. Nagy (eds.), 2-4, 2007.

## TABLE (MOSAIC) OF COHERENCES

*Philosophy* (in the etymological sense)

Thrust towards truth, revelation. Quest in everything, interrogation, harsh criticism, active knowledge through creativity.

*Chapters* (in the sense of the methods followed)

Partially inferential and experimental

ARTS (VISUAL, SONIC, MIXED . . .)

Entirely inferential and experimental

SCIENCES (OF MAN, NATURAL)

PHYSICS, MATHEMATICS, LOGIC

Other methods  
to come  
?

This is why the arts are freer, and can therefore guide the sciences, which are entirely inferential and experimental.

*Categories of Questions* (fragmentation of the directions leading to creative knowledge, to philosophy)

REALITY (EXISTENTIALITY); CAUSALITY; INFERENCE; COMMUNITY; COMPACTNESS; TEMPORAL AND SPATIAL UNIQUENESS  
AS A CONSEQUENCE OF NEW MENTAL STRUCTURES;

↓

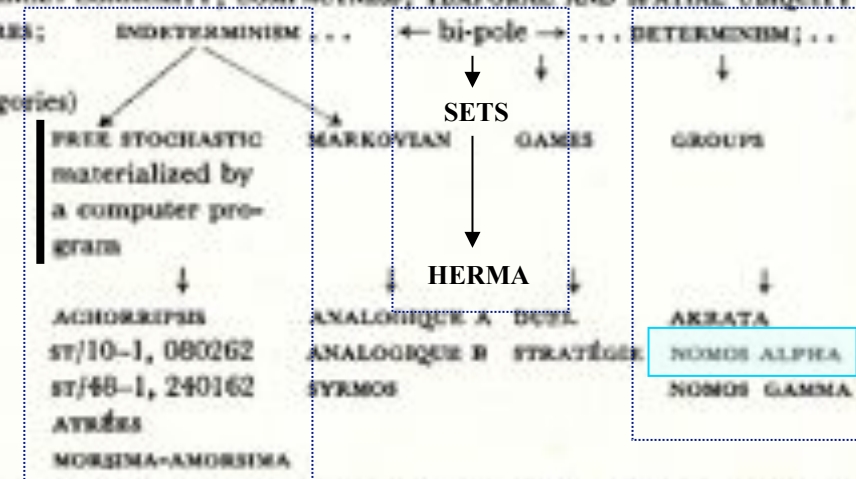
*Families of Solutions or Procedures* (of the above categories)

?

↓

*Pieces* (examples of particular realization)

?



*Classes of Sonic Elements* (sounds that are heard and recognized as a whole, and classified with respect to their sources)

ORCHESTRAL, ELECTRONIC (produced by analogue devices), CONCRETE (microphone collected), DIGITAL (realized with computers and digital-to-analogue converters), . . .

*Microsounds*

Forms and structures in the pressure-time space, recognition of the classes to which microsounds belong or which microstructures produce.

Microsound types result from questions and solutions that were adopted at the CATEGORIES, FAMILIES, and PIECES levels.

# La puissance de la combinatoire dans la création artistique : l’Oulipo « L’ouvroir de littérature potentielle »

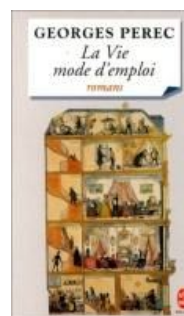
« Ce petit ouvrage permet à tout un chacun de composer à volonté cent mille milliards de sonnets, tous réguliers bien entendu. C'est somme toute une sorte de machine à fabriquer des poèmes, mais en nombre limité ; il est vrai que ce nombre, quoique limité, fournit de la lecture pour près de deux cents millions d'années (en lisant vingt-quatre heures sur vingt-quatre) »  
(Raymond Queneau, *Cent mille milliards de poèmes*, 1961)

*Du jeune avantageux la nymphe était éprise  
pour consommer un thé puis des petits gâteaux  
le chauffeur indigène attendait dans la brise  
il chantait tout de même oui mais il chantait faux  
L'un et l'autre a raison non la foule insoumise  
qui clochard devenant jetait ses oripeaux  
un frère même bas est la part indécise  
elle effraie le Berry comme les Morvandiaux  
Devant la boue urbaine on retrousse sa cotte  
aventures on eut qui s'y pique s'y frotte  
l'autocar écrabouille un peu d'esprit latin  
On regrette à la fin les agrestes bicoques  
on mettait sans façon ses plus infectes loques  
si la cloche se tait et son terlintintin*

[<http://x42.com/active/queneau.html>]



*Château des destins croisés* (1969)



*La vie mode d'emploi* (1978)



Raymond Queneau



Italo Calvino



Georges Perec

# Tom Johnson et la musique algorithmique

France Culture, 20 h 30 le 12 février, Atelier de Création Radiophonique

The image shows a page of sheet music for piano. At the top center, the title "Cosinus pour piano" is written in a large, serif font. Below the title, the number "1." indicates the first movement. To the right of "1.", the name "Tom Johnson" is printed. The music is arranged in five horizontal staves, each consisting of five lines and four spaces. The notes are represented by short vertical strokes. The first staff begins with a quarter note followed by eighth notes. The second staff begins with a half note followed by eighth notes. The third staff begins with a quarter note followed by eighth notes. The fourth staff begins with a half note followed by eighth notes. The fifth staff begins with a quarter note followed by eighth notes. The music is set against a light beige background.

Jean-Paul Delahaye, « La musique mathématique de Tom Johnson », *Pour la Science*, 2004, n° 325, 88-93

# Techniques combinatoires



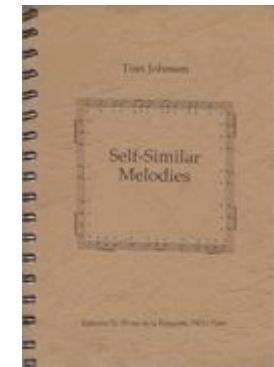
The image shows the first page of a musical score titled "The Chord Catalogue" by Tom Johnson. The title is at the top center, with "the keyboard" written below it in smaller letters. The score consists of two staves of music. The top staff is labeled "The 28 two-note chords possible in one octave:" and the bottom staff is labeled "The 286 three-note chords possible in one octave:". Both staves are filled with dense, continuous patterns of small notes, representing all possible chords within a single octave on a keyboard.

« In this piece, written by Tom Johnson in 1985, the pianist plays all 8178 chords that are possible within one octave - 13 notes from C to C - going from all possible 2-part chords, through the 3 part chords, etcetera, up to one 13-part chord. [...] The piece is structurally very simple but very rich and intriguing. It is a harmonic piece, obviously, but surprisingly it's quite melodic and rhythmically very vivid, too - you can even hear something like counterpoint happening. One very surprising effect one might notice in a full performance is that though it is basically constructed entirely out of all ascending lines, you start hearing descending lines when the texture gets thick »

(Samuel Vriezen, Note de programme à l'occasion des Wiener Tage der Zeitgenössischen Klaviermusik, février 2005)

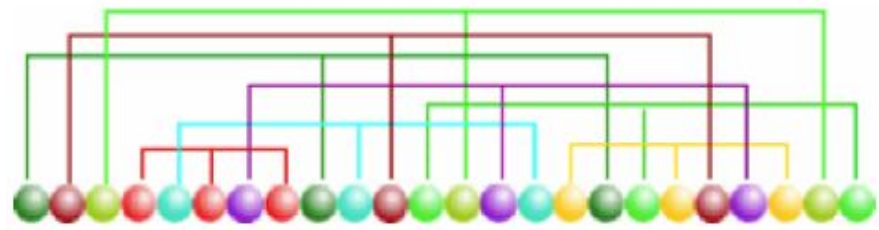
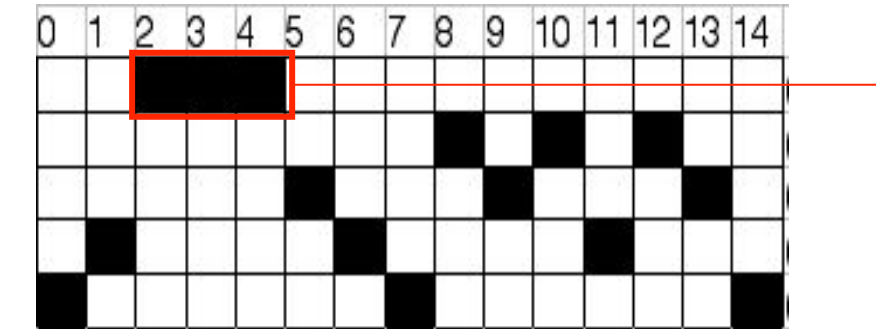
# Mélodies auto-similaires

A musical score consisting of eight staves. The top staff shows a melody with a multiplier of  $x$ . The subsequent staves show the same melody with multipliers of  $x+4$ ,  $3x+4$ ,  $3x$ ,  $5x+4$ ,  $5x$ ,  $7x+4$ , and  $7x$ . The notes are colored according to their position in the sequence: blue for the first note, red for the second, green for the third, orange for the fourth, pink for the fifth, and purple for the sixth.



- T. Johnson, *Self-similar Melodies*, Editions 75, 1996
- Amiot E., C. Agon et M. Andreatta (2007), « Autosimilar melodies and their implementation in OpenMusic », SMC07, Lefkada, Greece.

# Pavages du temps



## Tilework for Piano

perfect triplet tilings, 5th order

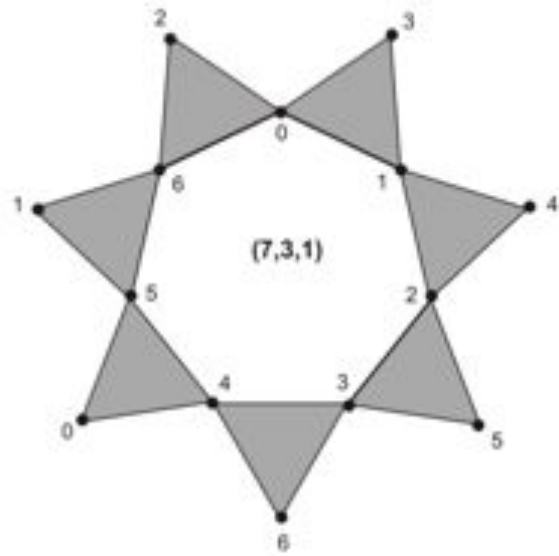
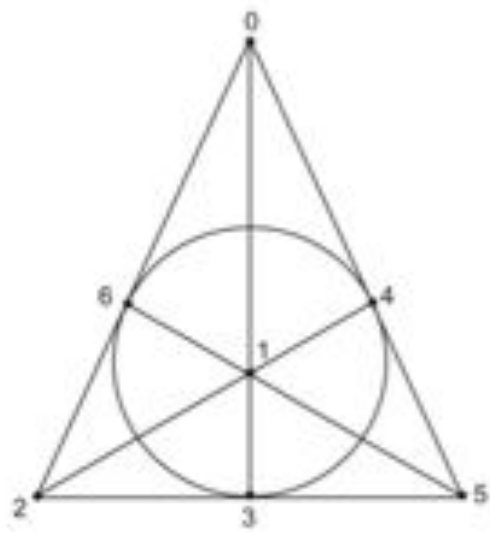
with thanks to Jon Wild and Erich Neuirth



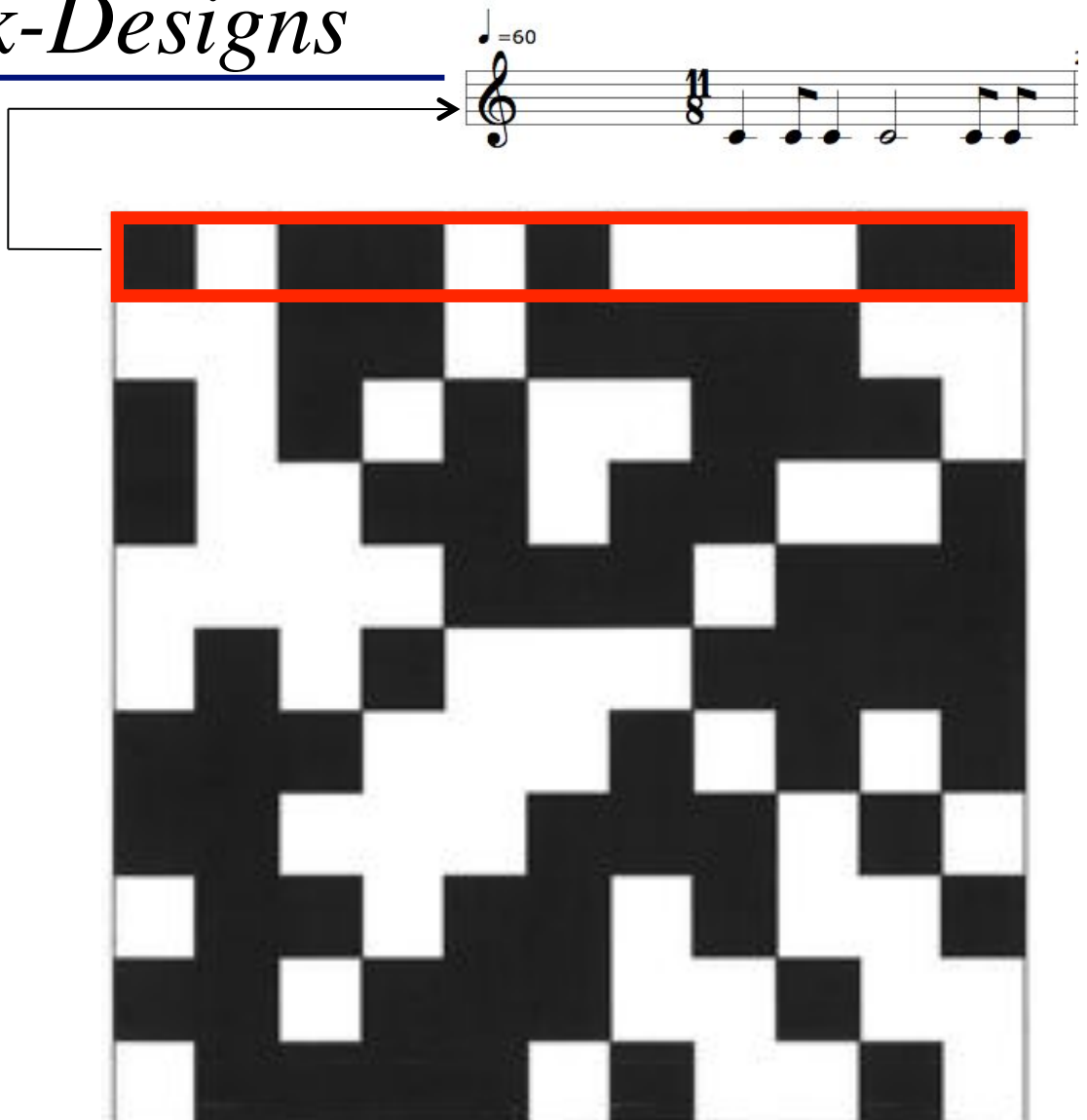
Tom Johnson, « Tiling in My Music », *Perspectives of New Music*, 49(2), 2011, p. 9-22

Jean-Paul Davalan, « Perfect Rhythmic Tilings », *Perspectives of New Music*, 49(2), 2011, p. 144-197

# Théorie des *Block-Designs*



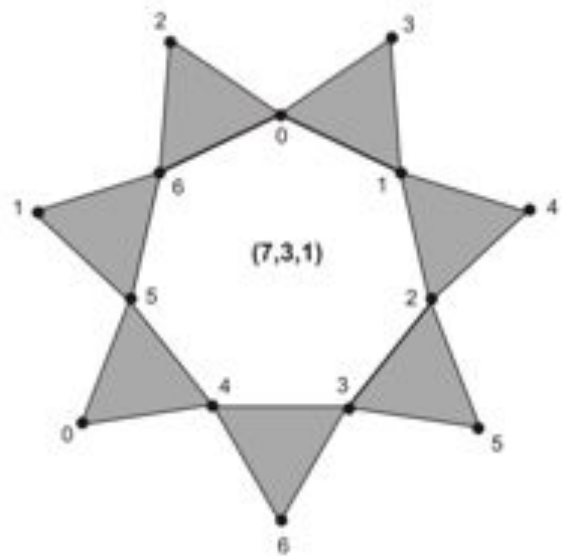
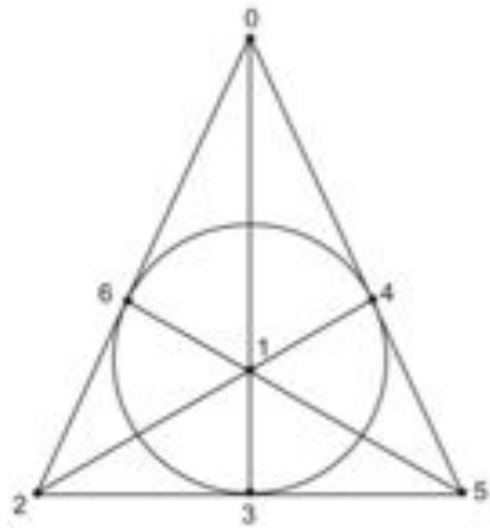
Plan de Fano = (7,3,1)



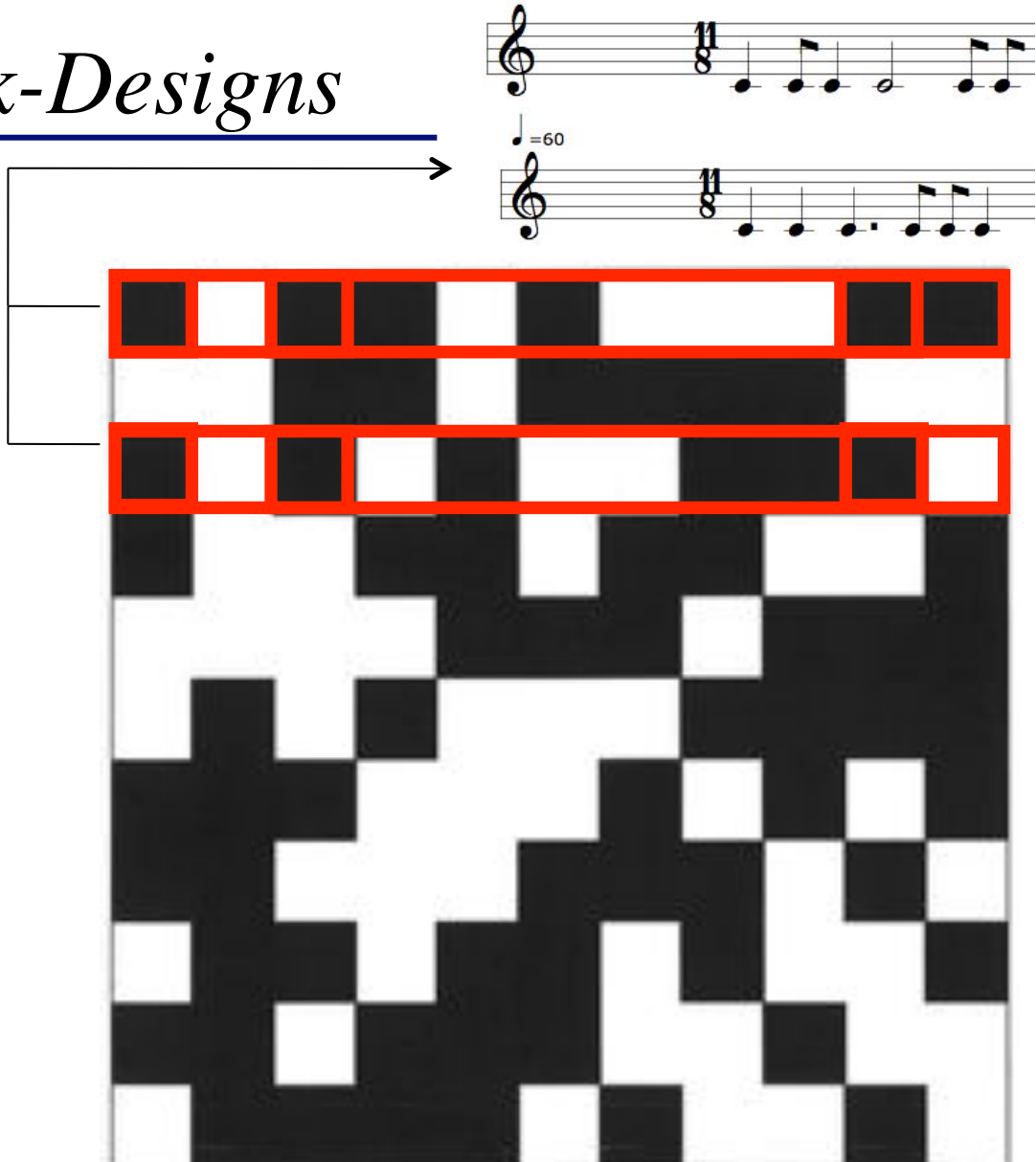
Block-design (11,6,3)



# Théorie des *Block-Designs*



Plan de Fano = (7,3,1)



Block-design (11,6,3)

